要目

- ❖ 和平工業區專用港施工概況介紹
- ❖ 美國住宅型海岸結構物設計理念簡介
- ❖ 密建於日本瀬戸內海聯通「越智諸島」的跨海 橋樑群
- ◆ 921 地震台中港1至4A碼頭液化潛能與碼頭 穩定性分析
- ❖ 余門水頭建港海象條件
- ❖ 淺談丹麥與瑞典間新建海底隧道

中華民國九十年元月出版

目 錄

	`	和平工	業區專用港施工概況介紹	1
		陳吉紀	宇泰工程顧問公司總經理	
		陳森河	宇泰工程顧問公司協理	
		張文欽	宇泰工程顧問公司副理	
=	`	美國住	宅型海岸結構物設計理念簡介	10
		菄曙純	國立成功大學水文中心副研究員	
三	`	密建於	日本瀨戸內海聨通「越智諸島」的跨海橋樑群1	15
		陳文樹	交通部郵政研究所研究員	
四	`	921 地震	C台中港1至4A碼頭液化潛能與碼頭穩定性分析□	18
		賴聖耀	港灣技術研究中心副研究員兼組長	
五	•	金門水	頭建港海象條件	30
		沈建全	國立高雄海洋技術學院副教授兼系主任	
	`	淺談丹	麥與瑞典間新建海底隧道	39
		陳正和	前省府交通處技正	

和平工業區專用港施工概況介紹

陳吉紀 字泰工程顧問有限公司總經理 陳森河 字泰工程顧問有限公司協理 張文欽 字泰工程顧問有限公司副理

一、前言

和平工業區專用港自民國85年 10月奉經濟部核定同意開發,嗣經 行政院於86年6月劃定港區界限範 圍後,整體投資與建計畫方正式起 跑。同年7月和平工業區專用港實 業股份有限公司(以下簡稱和平港 公司),開始著手邀請國内外知名 營建廠商,浚挖廠商..等,進行本 專用港建港工程之邀商招標作業, 同年9月底正式決標動工興建。

由於本專用港港區範圍侷限,

故如何在短短三年内,將一面 積達 158.8 公頃之工業專用港從荒 蕪之灘地轉變為可供 7.3 萬噸煤輪 安全進港之國際港口,自細部規劃 起,就該將設計、施工、土木機電 界面整合、與營運時程…等詳加考 慮,以符合計畫時程之要求,故就 港區規劃、工程設計、乃至施工監 造…等,均是一項極為嚴苛之挑戰

和平工業區專用港之興建堪稱順利,自86年9月底開工以來,所有港池水域、外廓防波堤、碼頭… 等港灣主體已於開工後二年半内(89年初)全部完成,碼頭與後線之 相關卸運設備與輸儲設施亦於89年 10月完成裝設與試運轉作業,整體 建港工程如預定期程於三年半内完 成,預計90年初開始正式啓用對外 營運。

本文僅針就和平工業區專用港之第一期港灣主體工程部份,依其工程內容、施工工法、機具與特性、施工過程….等,作一簡要概述,並探討和平工業區專用港港灣主體工程於二年半內完成之主因,期與國內港灣工程界分享相關經驗。

二、專用港第一期主體工程

第一期工程中港灣設施主體工程中土木部份,主要分為港池水域 浚挖工程、外廓防波堤工程、碼頭及護岸工程等三大類,總計於此三大類工程中,使用各式消波塊近5萬7千個、鋼筋近5萬公噸、大尺寸鋼棒近20萬公噸、各式混凝土澆置近70萬立方公尺、各式塊石拋放近90萬立方公尺。

以下僅針對各類工程之主要內 容、工材數量與施工特性….等分 別説明於后:

(一)港池水域浚挖工程

由於本專用港港址位處和平海域,海底底床陡峭,無法依傳統建港方式以築堤填地取得港池水域與港區用地,所有港池水域係採內挖既有灘地取得,港區範圍總面積達158.8公頃、其中港池水域佔104.3公頃。總計港池水域部份(主航道、迴船池、泊渠….等)總浚挖量超過1,700萬立方公尺,浚挖深度港池部份最深達EL.-20m、防波堤基礎則逾EL.-40m。

倘再計入碼頭工程與外廓防波 堤堤身基礎之浚挖量,本專用港之 總浚挖量將近2,000萬立方公尺。

口外廓防波堤工程

本專用港外廓防波堤堤頭延伸入海雖僅約60m長,其堤頭水深卻已近EL.-15m,防波堤結構之堤趾基礎水深更達EL.-40m。預計施築全長2,116m之防波堤設施,其中北外防波堤全長1,090m、南外防波堤全長885m、南北内堤全長141m。

南北内堤採沉箱合成堤結構外,分別由三座20m(B)×22m(L)×13m(H)及兩座20m(B)×22m(L)×16m(H)沉箱組成。南北外防波堤均採拋消波塊堤結構,堤心消波塊重量10T及40T,覆面消波塊則有10T、40T、50T、61T、70T不等,總拋放數量超過57,000個。其中重型消波塊與高比重消波塊(50T

型Dolos消波塊、比重2.3t/m³、2.8 t/m³、3.2t/m³)數量更近20,000個, 堤身塊石拋放量近66萬立方公尺。

三碼頭及護岸工程

和平工業區專用港第一期工程 共計興建五席專用碼頭、長 120m 之港勤碼頭及 980m 長之消波護岸 ,共計使用鋼筋約4,000公噸、各 式混凝土約58,000立方公尺、拋放 塊石約 24 萬立方公尺、 打設 800 mm φ之鋼管樁共近1,200 支、打 設長度全部近43,000公尺。

第一期工程中興建之碼頭計有 N2 卸煤碼頭長 300m、 水深 EL.-16m, 供 7.3 萬噸煤輪靠泊, 其上 設有 2 部 1,600TPH 之連續式卸料 機(CSU), 及一條 3,300TPH 之輸 煤帶、轉運塔與其相關輸儲設施。

S1重件碼頭長120m、水深EL .-11m , 供電廠及水泥廠建廠時所需重件運輸船靠泊,碼頭面版部份區域荷重設計達20t/m²,以利重件及其重型運輸車輛使用,俟建廠完成後, S1 碼頭可轉供萬噸級船舶卸靠作業。

S2多用途碼頭長220m、水深 EL.-13m,可靠泊3萬噸船舶,其 上設置1,000TPH之移動式水泥裝 船機與卸料機各一部,及輸送帶與 輸儲設施,可供水泥裝船輸出或燃 副料卸運作業。

S3、S4則為水泥專用碼頭, 分別長220m及200m、水深EL.-13m及EL.-12m,靠泊3萬噸以下 之水泥專用船,為一專用碼頭設計 ,其上各設置一部1,000THP之固 定式水泥裝船機,供水泥專用運輸 船於此裝運水泥西運。

除港勤碼頭採重力方塊式結構外(水深EL.-6m)、其餘五席碼頭均 採鋼管斜樁棧橋式碼頭,以提高碼 頭之耐震性至Kh=0.20,其中S3、 S4 水泥專用碼頭則採離岸樁叢式 結構,以節省碼頭建設費用。

三、工程面臨之困難與挑戰

本專用港工程除了時程緊迫之 壓力外,更面臨地質條件不良、海 象條件嚴苛、及外在因素干擾(環 保問題、漁民抗爭…..)…等之困難 與挑戰。

(-)時程壓力

就私人投資興建之產業而言, 時間成本在財務分析上可能遠高於 初期投資成本,本專用港工程依投 資業主之整體需求預定自86年下半 年度開工,三年半完成第一期整體 建港工程,90年初正式啓用對外營 運,就一個從無到有之國際港口而 言,時程可謂緊迫。

投資單位與規劃設計單位除加快相關計劃送審之腳步外,從環評審查、開發計畫審核、建照(開發許可)申請、細設作業、招商邀標作業….等各階段作業,儘量採平行化且同步化之作業方式進行,以節省時效。並於計劃開始之初,配合水泥廠及電廠之興建時程, 擬訂一整體建港計劃時程控管網圖 (PERT)

, 嚴格控管各階段作業之工作進度 與時程。

施工階段更要求承包商於進場施作前,擬訂一系列之整體工程施工計畫、單項工程施工計劃、施工網圖、品管計畫….等,經與設計監造單位及業主間充份溝通修正後,據以嚴格執行及控管工程進度與品質,利於監造單位定期控管工程進度與品質,必要於進度落後時,要求承攬廠商提出趕工計劃或緊急應變計劃,以攢趕工進。

二地質不利因素

浚挖工作面臨之困難,主要以 加大施工機具能量及增加施工機組 與工作面來完成,由施工效率較高 之陸上浚挖機具負責進行港池水域 之上半部之浚挖工作,並配合地下 水位與潮汐,加長浚挖機具之浚挖 深度,以達最大效率。另以自航絞 刀抽吸式挖泥船、及定位抓斗式挖 泥船配合受泥船,負责港池水域下 半部之浚挖工作。

至於深水碼頭構建面臨之困難,除了要兼顧耐震性、經濟性、結構有重…外,更需考慮對港池水域靜穩定之影響。設計之初即捨棄易反射波浪之重力沉箱式碼頭結構為主動,惟鋼管樁之打設能否成功是部份,與管樁之試打(800mm φ、長50m)與載重試驗,以確定於此地質進行鋼管樁力設施工之可行性與基樁承載力。

三海象條件嚴苛

本專用港位於台灣東部,每年 6-9月常受颱風侵襲,11月至隔年2 月則為東北季風期,全年可供海上 船機作業之天數有限,依觀測之海 象資料評估,全年可供沉箱拖航安 放施作及海上消波塊吊放之工作天 數已不足二個月,海上作業工作天 數明顯不足。

外廓防波堤堤身位於近灘碎波區,即使堤頭水深已近EL.-15m,然離灘線不足100m,波浪碎波引致之強烈波流、對於施工船機之安全威脅甚大,尤其是大型浚挖與消波塊吊放施工船機,於近灘區工作危險性更是加高。加以和平海域底床沖刷嚴重,防波堤基礎開挖後不旋踵即又回淤,更加深防波堤基礎施工之困難性。

為克服此一先天不利之因素,

除以大型海上施工船機增加施工能 量與效率、及在各海上施工船機配 置差分式衛星定位系統(DGPS), 精確掌握施工位置及精度、浚挖位 置與深度外外,更由業主、監造單位、承包商密切配合,於完成基礎 開挖後,旋即進行水深檢測工作, 檢測無誤後立即進行塊石拋放與消 波塊吊排工作,降低回淤造成施工 之不利影響。

至於颱風影響方面,本專用港 工程開工之初,即由承商擬訂一套 防颱計畫,經與設計監造單位、業 主充份溝通檢討後修正施行,期將 可能面臨之颱風災損降至最低,減 少業主之損失。

四施工場地侷限

和除港池水域面積,實際上本專用港陸域土地面積僅約54.5公頃,以此有限之面積要容納浚挖施工機具與材料、工程人員辦公與生活區、各式工程出場與機具維修廠、塊石臨時堆儲場、及高達數萬個之各式消波塊之臨時堆置與養護場,就工程界面之協場工作場地之安排,確實為監過單位及業主帶來另一方面之困擾與難題。

為降低界面整合之困難度,特 將港灣主體工程分為三大主標,第 一標主要負責港池浚挖及外廓防波 堤施作,第二標負責製作各式消波 塊供應第一標所需、第三標則為碼 頭工程。如此可減少同時間内施工 場地内之承包商數量,降低土地需 求及個別承商動員機具與人力之費 用;且更藉由嚴格控管外廓防波堤 施工進度,來達到減少消波塊堆置 場與養護場之大量土地需求。

⑤外在因素

本專用港高達近2,000萬立方 公尺之浚挖土方棄置與能否再利用 問題,不僅攸關建港開發成本,也 與建港成敗息息相關。規劃階段即 研擬數種解決方案,包括回收再利 用(廠區填方、篩選砂石建材…) 、港區南側人工養灘、海拋…等方 式。惟施工時人工養灘與海拋作業 之相關審核管理單位與法令皆未完 備,加上漁民抗爭,環保因素…等 , 皆使本專用港工程開工後之浚挖 土方處理產生難題。於克服種種法 令限制、降低環境影響衝擊、及與 漁民充份溝通協調後,將浚挖土方 用以養灘及海拋數量大幅減少,增 加土石資源回收再利用之數量,使 得本工程得以順利進行。

然施工期間仍有因土方堆置問題尚未解決,而將2、3百萬立方公尺之浚挖土方暫時堆置於電廠預地定之情況發生,雖增加二次搬運所需費用,但相較於獲得3、4個月工期,就時間成本而言,仍屬值得。

四、施工概況

(一)港池浚挖工程

港池水域浚挖工程分為陸上及 水下兩種,分界點概為EL.-8m(實際分

界依地下水位及潮汐而定)。陸上挖方 概分雨層,在地下水位以上者採大 型挖溝機(PC1000型,挖斗4.3 m³ 、作業能量可達400m³/hr以上)配合 装載卡車,將浚挖土方運至堆置場進行 資源回收利用, 尖峰期時港區各式陸上 浚挖機組達15組以上,每月浚挖量可 達120萬立方公尺。地下水位以下則採 挖溝機加長臂,以增加浚挖深度,惟此 時港區内多已形成水域, 挖溝機於岸壁 施作之效率與能量將大幅降低。 水下挖 方為EL.-8m至設計浚挖深度,依施 工區域之特性採用不同之機具。對於防 波堤基礎、 碼頭基礎… 等較深之浚挖 工作,以25 m3及10m3定位抓斗式 挖泥船配置DGPS及受泥船、拖船 .. 等船機進行作業。其中25m3 抓斗式 挖泥船最大浚挖深度可達EL.-60m 、除負責防波堤基礎浚挖外,並在 近灘區兼負主航道之破口浚挖工作 , 然因受到碎波波流影響及浚挖土 方礫石含量過多之影響,其中一部 25 m3 抓斗式挖泥船於施工過程中 嚴重受損。

當主航道已破口且深度足夠時 ,則由兩艘萬噸級自航絞刀式抽砂 船負責港區水域、主航道、迴船池 之浚深工作,抽砂船上自備 DGPS 及相關監測設備,隨時掌控浚挖深 度與位置。至於與岸壁相接之修邊 浚挖工作,則由較小型之鏟斗式挖 泥船負責。

整體浚挖工程自86年10月開始,持續至88年11月底,長達26個月,平均每月浚挖量達75萬立方公尺以上。

口外廓防波堤工程

為克服近灘區海上船機不易施工之困境,及縮短工期之要求,外廓防波堤施工時,其塊石拋放與消波塊吊排原則上儘量以採陸上端進法施作,並由德國進口兩部超大型履帶全迴旋式吊車,荷重分別達500T、及300T,配合輪型400T吊車,分別在臨時碼頭進行消波塊裝船作業。其中500T吊車其桁架達90m、於國內海事工程之施工船機而言,亦屬罕見。

由於陸上吊車吊距及能量提高 ,可大幅降低海上消波塊之吊放數 量,達到縮短工期之目標;至於堤 身基礎及深水段之消波塊吊排則以 海上吊船負責,海上塊石拋放作業 則由傾卸式拋石船進行。

整體外廓防波堤施工作業流程大致上如下:堤身與堤趾基礎浚挖(挖溝機配合抓斗式挖泥船)、堤身塊石回填(供陸上機具臨時施工便道使用)、堤趾基礎塊石與消波塊海拋、堤心消波塊吊排(陸吊及海吊)、覆面消波塊吊排(陸吊及海吊)、堤身混凝土澆置。

至於内防波堤所用之五座沉箱 ,由於港區水域施工初期水深不足 ,無法在港内以浮船塢施作,故改 以陸上施作,並配合港池泊渠之浚 挖,利用千斤頂將空重已逾4,000 公噸之沉箱,以推進方式緩緩推入 泊渠内,再完成拖航安放作業。

闫消波塊製作工程

本建港工程50T以上之重型消波塊已近2萬個,為及時提供外廓防波堤施工承包商所需各式消波塊,乃要求承包商提高產能。經與監造單位討論後,採國内首見之生產線輔以蒸氣養生製作,兩條生產線共配置50組50T型Dolos消波塊模具,每日最大產能可達50個重型消波塊。

另為提高生產效能,70T重型 消波塊之組裝由原設計之16支小尺 寸鋼棒組合 (22cm*22cm*450cm 、1.7t/pcs)、提高至8支大尺寸鋼 棒(33cm*cm*450cm、3.8t/pcs), 降低組裝支數,並採廠外模組化組 裝方式,減少廠房內電焊與組裝作 業時間,以提高產能。

四碼頭工程

本專用港碼頭工程最大之挑戰 在於鋼管樁之打設,由於地質因素 較為不利,鋼管樁打設可能遭遇到 之地下障礙物無法事前預知,對碼 頭工程之工進充滿著不確定性影響 。施工期間曾因遭遇地下直徑達3m以 上之石塊,使工程停頓約二週用以 排除此障礙。

於監造單位、設計單位及承包 商配合下,當鋼管椿無法打設至預 訂設計深度時,設計單位立即判斷 是否廢樁、拔除重打、或補樁處理 ,業主彈性且充份授權尊重專業之 評估作業,使得碼頭鋼管樁之打設 雖多次遭逢地下石塊之阻礙,均能 迅速解決,不致延宕工期。

五、如期完工主要因素探討

本專用港港灣主體設施之建設 工程能如期於89年底完成,其主要 原因可歸功於以下幾點:

(一)規劃設計得宜

書,依預訂計畫施作以收成效。

二未逢颱風災損

建港期間除87年遭逢兩次輕度 颱風侵襲,局部未完工堤段輕微損 壞外,並未遭受重大颱風災損,使 得南北兩外廓防波堤得以迅速完成 施作。另原設計時即考量東北季風 期常時波浪對防波堤施作之影響 便利性,將堤心消波塊由 10T 提高 完成覆面重型消波塊 10T 提高 完成覆面重型消波塊 10T 提 完成覆重型期甚至遭逢輕度 此 於東北季風期甚至遭逢輕度 時 仍具有一定之抗浪性,降低颱風災 損。

(三)當地居民溝通協調

四DGPS衛星定位系統之運用

本專用港工程大量運用差分式 衛星定位系統(DGPS),作為水下 工程定位與檢測之用,其精度可達 1m以内。

所有非自航式之海上浚挖船機 均裝設有DGPS,並於分區浚挖前 即完成該分區浚挖深度、範圍與路線之電腦圖檔,由裝設於操作手側方之電腦螢幕顯示該分區目前之浚挖深度與位置,達到精準浚挖之要求。另拋石船亦裝設DGPS,依拋放前擬妥之路線位置圖進行塊石拋放作業,電腦螢幕即顯示該拋放區與預訂拋放數量(船次),如此可大幅提昇塊石拋放效率與精度。

海上消波塊之吊排船機亦於其 吊桿上裝設DGPS,操作手依事前 繪製之吊排區位置與數量圖,由 DGPS系統導引至吊放區進行吊排 動作,提高工程施工品質與精度。

知重型陸上吊車使用

六、結論

欲於本省東部海域建港本已是 極大之挑戰,更何況要在海象條件 惡劣、地質狀況不佳之和平海域興 建深水港,且需於短短二年半內完 成,更是一項不可能之任務。 工業區專用港之順利完成除因天時 地利人和等因素配合之外,更重 的是,在規劃設計階段即充份考量 日後施工之可行性與困難性,進而 謀求解決之道,並在施工階段擺脱 傳統海事工程之思考模式與作業方 法,大量運用高科技定位系統、高 能量與高效率之施工機具、與現代 化設備,來達成縮短工期與提高施 工精度與品質之目標。除此之外, 業主之充份授權、彈性作業與尊重 專業作法,亦為設計監造單位、施 工承商能不受阻礙戮力向前之主要 因素之一。

美國住宅型海岸結構物設計理念簡介

葉曙純 成功大學水文中心副研究員

一、概述

近年來,由於國民所得大幅提 高,以及受到世界潮流的洗禮,國 人對遊憩休閒設施需求逐漸殷切, 順應週休二日制度逐步成型後,台 灣地區依山傍海,卓越的地理條件 未來具有多元化發展遊憩休閒設 施的潛力。換言之,上山下海將會 是休閒遊憩的主流。早年為配合疆 土防禦政策,許多海岸區域列管, 即使坐擁廣大面積之海岸土地,開 發情形極不均衡。反觀山林資源的 開發較早也較蓬勃,例如,不勝枚 舉的森林遊樂區與休閒農場等。有 鑑於社會、經濟、人口的快速成長 與海防之大幅開放,海岸地區已成 為我國國土開發中不可或缺之新開 發空間,致使海岸空間利用規劃必 須滿足更高之期望,海岸結構物的 設計即是為了達成最佳的海岸空間 設計。

海岸結構物相關研究發展在國 内外均有相當長久的歷史,尤其在 第二次世界大戰後,因為波浪理論

的發展成熟而有突破性的發展,並 且建立具體動力模式提供設計應用 之参考,且利用大型實驗室,建立 經驗公式,以彌補理論之不足。但 縱觀國内在海岸結構物研究發展方 向, 雖研究計劃均有逐年執行,但 與國外比較則顯然起步較晚。而且 研究重點也比較偏向海堤對海域環 境之影響及其穩定性探討,而比較 少探討設計理論及新型海岸結構物 之開發。尤其後者的研究,必須配 合台灣海岸開發政策與法令。現階 段涉及海岸開發之政府機關頗多, 各其有職掌,整合性不足,且海岸 相關法規紛紜,有待釐清與界定, 並不利於新型海岸結構物之開發。

就海岸結構物之設置而言,過去台灣是以防止海浪侵蝕破壞的海堤為主,目的單純只為保護海岸防護為岸。早期海岸防護岸、突堤及離岸堤、結構物為主,相關試驗及研究成果相當豐富,同時,颱風波浪推算、共工海波浪推算及海岸地形變遷模式、式等皆累積相當的經驗。如今,海岸

二、住宅型海岸結構物如何兼顧 「親水」與「防災」

「親水」是一個高度概念性的 名詞,意指在海岸整治過程中除了 安全保護的考量外,可同時兼顧到 景觀,且使人們易於親近海洋,包 含玩水、釣魚、觀景、散步、慢跑 等活動。所以親水性住宅的設計必 須兼顧到安全、景觀、"近水"的 原則。"近水"可謂縮短與海的距 離,亦減少進行遊憩行為所需花費 的路程時間。親水性住宅不只探討 造型及功能設計等工程力學問題, 亦探討住宅與海岸環境之和諧性, 亦即考量景觀美化與減少生態破壞 等功能,並討論異常天候下,親水 性住宅的承受度分析,尤其為了符 合"近水"的原則,對波浪所引致 之外力對親水性住宅之影響等,都 屬其研究的範疇。

美國美國聯邦緊急務管理總署 (Federal Emergency Management Agency, FEMA)成立後,為

主掌防救災措施之所有事宜。 1968 年 國會通過「國家洪水保險法案」 (National Flood Insurance Program) 並在房屋都市發展部内成立 一「聯邦保險局」 (Federal Insurance Administration), 專管 洪水保險及洪氾區管理業務。聯邦 保險局負責的防洪保險計畫,提供 研究經費,發展減災的工作。1973年 國會通過洪災保護法,洪災範圍又 稱洪災保險率地圖,作為房屋建造 規範與保費計算的基礎,對易遭洪 水侵襲之地區的瞭解、確定、規劃 、評估,以符合大眾安全與經濟效 能的需求。美國聯邦緊急務管理總 署(Federal Emergency Management Agency, FEMA)支持許多相 關的研究計畫,結合現地工程師的 會勘經驗與學術單位研究在理論上 的發展,不斷地修正規範,希望能 兼顧「親水」與「防災」雙重目的

西洋,南接墨西哥灣,夏秋也免不 了颶風或熱帶性低氣壓的肆虐,但 住宅型海岸結構物仍不勝枚舉,所 好展的機會,本文就住宅型海岸結 構物的材料、施工、安全、工程設 請來說明美國海岸住宅的設計理念 ,同時對照台灣的情況,提出適當 的建議。

1.材料

美國海岸地區之土地利用,以 優先保護海岸珍貴資源,維護公共 安全,配合環境影響評估制度,選 擇不具污染性建材,以促進海岸地 區之合理開發利用,而木材是不具 污染性的優良建材,也是美國境内 可獲取最便宜之建材,無形中也促 進相關產業(林業生產、製造、加 工、運輸、研發)的蓬勃,也使木 材幾乎成了唯一選擇。由於台灣地 處太平洋板塊地震帶上, 在去年 921 地震及今年611 地震所帶來之 災害,皆讓國人已有深刻之體認, 其中水泥建材因為無法回收利用或 銷毀,損廢的房屋所產生之混凝土 廢棄物,造成環境問題,再加上傳 統營建使用之土石方工程材料日益 短缺下, 啓用替代或採用同等功效 之材料,則益形重要。港灣構造物 中近年也開始走向綠色環保,而木 材與其他綠色建材的取得,可從廣 泛地蒐集資訊,來取得市場與供應 情形,分別由國產與進口雙管齊下

2. 施工

木製建築(wood-frame buildings) 容易施工, 所須的施工機具 較少,成本較低,落實在工程運用 上,工時短自然是一大優勢。

台灣的海沉而言,一般可區分 為夏季西南季風與冬季東北季風之 兩大類型,在夏季從事各項營建工 程,尚須考慮颱風之侵襲;而冬季 季風大約每年十月至翌年三月,期 間風速十分強勁,各項土木工程每 每有執行上的困難,因此施工天數 常是一個非常重要的因素。

3.安全

台灣的海況更加惡劣,撒離才 是避免生命傷亡的不二法門。至今 對於各項海洋環境調查工作,只有 區域性、片面的環境資料調查, 致國內海洋環境背景資料不完整, 未能普遍應用於設計理論及新型海 岸結構物開發之基礎。因此建議由 政府統籌建立海洋環境背景資料, 尤其是自然環境基本資料和海岸現 況資料,得定期調查更新,並製訂 撒離決策指標(如安全自動化監測 系統與安全預警決策支援系統等) ,以確保安全。

4. 工程設計

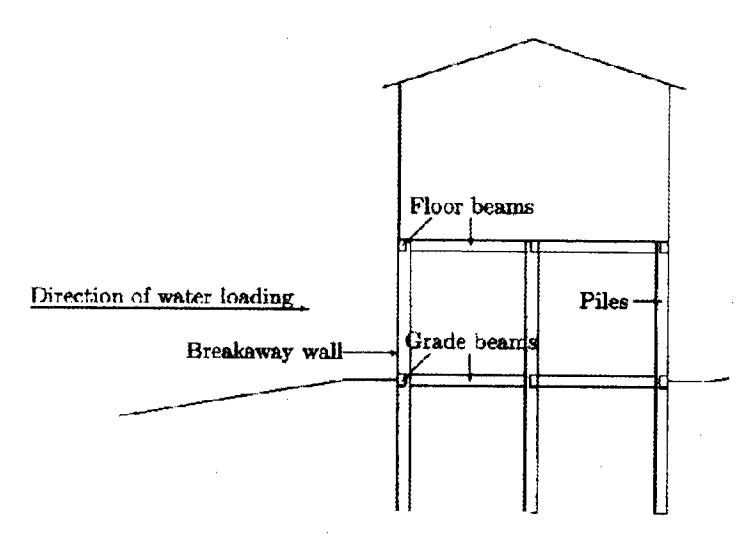
除了架高之外,制控附屬結構物的強度,增加利用,是另一個設計重點,許多附屬結構物在平時是使用無虞的,但當風、水、屬。 一定的人力是過某種程度時,附屬計算發生,所傳遞到主要支撐梁柱和地壞,使人之間,不會有過多的外力傳遞,而主建築物得以保存。

四、結綸

因為海沉、國情、消費習慣不

參考文獻

- 1. Yeh, S. C., 1997, Behavior of Breakaway Walls, doctoral dissertation, North Carolina State University (Raleigh, NC)
- 2. ASCE Standard, 1996, Minimum Design Loads for Buildings and Other Structures, ASCE 7-95. American Society of Civil Engineers (New York, NY)
- Coastal Construction Manual, FEMA-55/February, 1986, Federal Emergency Management Agency (Washington D.C.)
- 4. Design/Construction Guide-Residebtial and Commercial, 1994, American Plywood Association (P.O. Box 11700, Tacoma, WA 98411 -0770).



圖一 美國住宅型海岸結構物是由柱(Pile)"架高"的。一樓是完全沒有遮蔽物的

密建於日本瀨戶內海聯通「越智諸島」的跨海橋樑群

陳文樹 交通部郵政研究所研究員

「越智諸島」古來即是日本船舶通行往來最頻繁的海域和港灣區,扼賴户內海之咽喉,而第二大港——一神戶港與另一名港——廣島即是分別位于瀨戶內海之東、西兩端。今就智諸島之間已建竣有多座橋樑對當地的陸運乃至海運業務俱有直接、間接的顯著裨益。

迄今之千禧年止, 日本計有四 座用以連結國境四大島(本州、九 州、四國和北海道)的跨海大橋, 若依其建竣年代來列示係分別為關 門大橋、鳴門大橋、瀨户大橋和明 石大橋; 另則有連通本州和九州的 「關門海底隧道」、連通本州和北 海道的「青函海底隧道」。由是觀 之,日本的本土國境四大島在人力 建設的努力下,早即連為一體了。 事實上,除了上述的四座大橋之外 ,尚有數座建於瀨户内海之上、用 以連接散布於瀨戶内海諸離島的跨 海大橋,尤以位於本州廣島和四國 爱媛雨縣之間的瀨户内海西部海域 群島最為密集。

這些島嶼係被「安藝灘」、「 備後灘」和「燧灘」等三大灘(日 文的灘是指波濤洶湧的海面,與中 文向稱的海難有別)所環繞,合稱 為「越智諸島」。在以往的封建朝代,屬越智諸島之一的「能島」即因地理條件優適,遂建成有全日本名氣最響亮的「村上水軍」(由領主村上氏所肇建),今之日本自衛隊則在能島駐建有一支武力部隊。

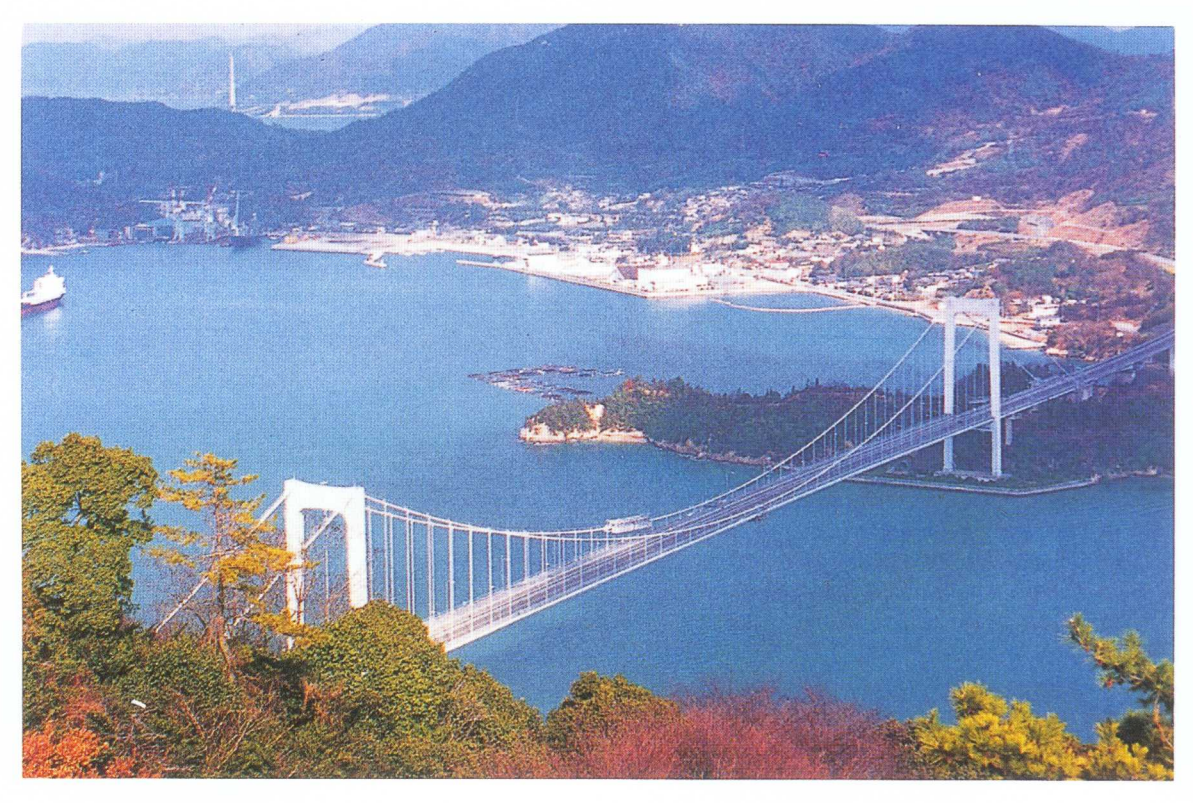
歸屬廣島縣之伯方島、生口島 暨歸屬愛媛縣的大島、大三島…等 各島間之海域,波浪則較為平穩緩 和,諸島並散住有數千至萬餘名以 漁撈和漁產加工為主業的居民,其 中又以歸屬於愛緩縣的「大島」人 口最眾,蓋島上所產的石材自四百 多年前就馳名全日本,例如建於東 京的國會大廈和赤阪離宮即是以掘 產於大島的石材作為主要的建材之 一;且因近十餘年來觀光業的興盛 蓬發致遊客紛至沓來,工商業逐漸 取代了往昔的漁產業,連帶的也亟 需來改善其陸路運輸。而要改善陸 運,可想而知當然得從加強島際聯 通、興建橋樑的營造工程來著手。

在廿世紀、九〇年代之間已有 三座大橋建竣於上述的「越智諸島」間,其中以建於來島海峽全長四 ·一公里,旨在連通大島市吉海町 和愛媛縣今治市的「來島大橋」最 負盛名,係在一九九九年初才全部

完工。該座大橋實際上是由三座吊 橋合組而成,故日本人特稱為「三 連吊橋」,誠為舉世首見者。橋樑 全線共有六座呈灰色外觀、略似日 型但橋頂又增設橫樑補強,高度為 二百廿四尺的橋塔,最大的跨距達 三百廿公尺; 橋面上共有四線車道 ,有四十六公尺左右的寬度。每一 單座吊橋的橋面距離海面皆在五十 公尺以上,俾橋面下仍可供豪華郵 輪、貨輪、漁船以及自衛隊的艦艇 通行,不致妨阻在「越智諸島」間 原本就相當發達的海運。橋體外觀 亦十分的磅礡閎偉,其橋墩俱是建 在島邊的洲瀨沙地上,必須先進行 土質改良將周圍鬆軟的沙地錘實再 打樁加強土質的固密效果,之後再 施工架建橋體。由於三座吊橋的跨 距均在五百公尺以上,爰設計為吊 橋的型式,因為吊橋型式的橋樑可 將其承重力分散至懸垂於橋頂的鋼 **纜主索再傳至橋墩**, 乃可有較大的 跨距,其它的「大島大橋」、「多 多羅大橋」亦皆是吊橋的造型。來 島大橋通車後,愛媛縣今治市和鄰 近諸市町的貨物也可載運至大島吉 海町的「下田水港」來轉運至全日 本各地,對推展當地的海運事業也

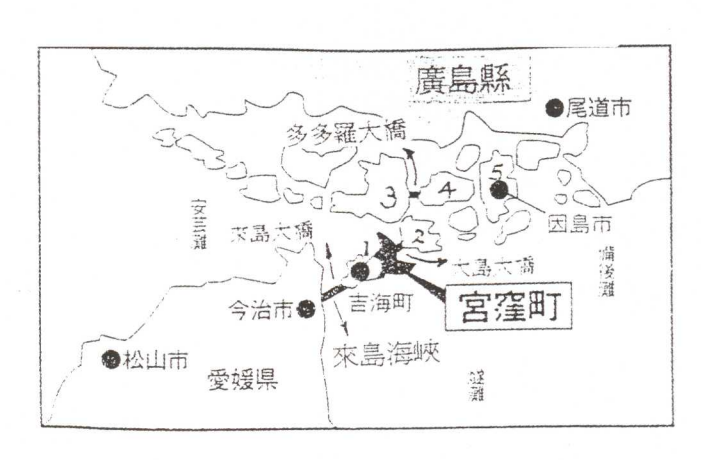
有甚為顯著的裨益。

建於大島宮窪町和其東邊伯方 島之間的「大島大橋」長度約莫三 • 五公里,主橋係由兩座高聳達一 百六十八公尺、呈長腳门字造型的 橋塔所搭建,竣工於一九九五年, 原是供銜接大島和伯方島兩離島的 公路運輸,但是現在則復因上段描 述之「來島大橋」的落成,致已得 使伯方島直通至愛媛縣了!此外, 在「大三島」和「生口島」間亦新 建有一座三公里長之「多多羅大橋 」,俟將來「大三島」和「伯方島 」之間以及自「生口島」往東通至 「因島」甚至廣島尾道市的大橋陸 續的按計畫與建完工後,則從本州 廣島將可駕車經過多座島嶼、多座 大橋而直通四國的爱媛縣,如此則 是跨越瀨户内海最長也最多的橋樑 線。按照日本運輸省的規劃,此一 目標預計可在廿一世紀的前十五個 年頭之内達致,屆時座落當片水域 的「越智諸島」必可吸引更多的遊 客慕名前來瞻仰這一全球罕見的跨 海「橋樑群」,此亦是經由公路營 造工程而構成,將離島與陸地連成 為一體的厥偉浩大建設。



圖一 連接大島宮窪町和東邊伯方島的「大島大橋」

- 1. 大島
- 2. 伯方島
- 3. 大三島
- 4. 生口島
- 5. 因島



圖二 位於本州廣島和四國愛媛兩縣之間且 座落於瀨戶內海之島嶼與橋樑位置圖

921地震台中港 1 至 4 A碼頭液化潛能與碼頭穩定性分析

賴聖耀 港灣技術研究中心副研究員兼組長

一、前言

921大地震台中港區4000多公 頃中,僅有1至4A號碼頭7公頃多 受損較為嚴重,該沉箱碼頭因為地 震外移0.5至1.7公尺,碼頭後線作 業區及道路發生崩裂、噴砂、凹洞 或隆起現象,如照片1所示,緊鄰 沉箱碼頭之倉儲棧房地基淘空,機 具傾斜,距離較遠的倉儲亦受波及 導致糖蜜和化學品外漏、油管和污 水等管線塌陷破裂,損失較大。由 於1至4A號碼頭地區為抽砂回填 區, 無地質資料,故本研究於地震 災後立即進行現地地質補充調查, 並進行液化危害度及下陷潛能及碼 頭穩定性等分析,希望對災損原因 進行研判,以提供未來港灣地區碼 頭設計及維修的參考。

二、碼頭規劃及設計資料檢討

台中港1至4A號碼頭皆屬沉箱 重力式碼頭,碼頭面高程均為+6.2m, 設計水深分別為1至3號碼頭高程-13m ,4號碼頭-11.0m,4A號碼頭為-9.0m ,沉箱寬度在16m至18m間,1至3 號碼頭碼頭長度均為250公尺,4 號及4A號碼頭長度分別為200公尺

及185公尺,沉箱碼頭基礎為厚約 1.5公尺之塊石及1公尺厚之卵石基 礎拋石。1至4A號碼頭建造於民國65 年,根據台中港務局提供之碼頭結 構斷面資料如圖 1 所示,設計資料 顯示1至4號碼頭牆背為粒徑10cm 以上之卵石,回填料成三角形分佈 ,回填料坡度約1:1.5接近回填料 之安息角,其上加舖2公尺厚粒徑 10cm 以下之河床料作為濾層, 碼 頭基礎浚挖時坡度原設計為1:2、 由於開挖完成七天後,坡度即超過 原設計1:2,所以施工之坡度修改 為EL.0以上為1:8, EL.0以下為1 : 3.5, 因此碼頭基礎浚挖時係分成 三層作階梯式施工,分別為1:2,1 : 3.5及1:8,如圖1所示,其上再 以水力回填砂回填作為碼頭後線作 業場,根據碼頭基礎竣工圖研判, 自沉箱至現有倉儲區亦即 921 地震 發生液化及嚴重破壞範圍內均屬水 力回填區。

三、震後地質調查分析

3.1 震後地質調查分析

921集集大地震後,本中心隨即針對台中港1至4號碼頭液化地區

進行荷式錐貫入試驗(CPT)地質調查工作,並研判該區土層特性進而分析液化潛能。本次調查位置為1至4號碼頭之後線第一線(距沉箱約17公尺)、第二線(距沉箱約42公尺)及後方道路中心線(距沉箱約42公尺)及後方道路中心線(距沉箱約57公尺)等3個斷面,各個碼頭為3個點孔,共計18孔,如圖2所示。調查結果如下:地表下約可分為兩種粉土質細砂層,一為疏鬆之水力回填砂,其qc值約為25~50kg/cm²,另一為較緊密之原沖積土層,其q。值約為50~200kg/cm²。

3.2 現場災害與鬆軟土層分佈之關 係

現場災害有下陷、噴砂、崩裂 、凹洞;鬆軟土層之分佈,如圖3至 圖6之土層分佈圖。現場災害與鬆 軟土層分佈之關係,慨述如下:

- 1.由圖4可知,1至4號碼頭之後線第 二線疏鬆土層之分佈:1號碼頭較厚 ,往1-2號碼頭交界漸薄,往2-3 號碼頭交界最厚,又往3號碼頭 中心漸薄,至3-4號碼頭交界附 近又變厚。此可說明碼頭之後線 第二線下陷及大坑洞之分佈:1號 碼頭坑洞、2號碼頭近2-3號碼頭 交界處之大坑洞、及3-4號碼頭 交界處之下陷及大坑洞?
- 2.由圖5可知,1至4號碼頭之後方道 路中心線疏鬆土層之分佈:1號 碼頭最厚,往3號碼頭中心漸薄, 往3-4號碼頭交界又變厚。此可 說明1號碼頭鐵道及3-4號碼頭交 界附近鐵道,為何有大面積之液

化啃砂?

3.由圖3及圖6可知,碼頭後線第一線、第二線至後方道路中心線之疏鬆土層分佈:碼頭後線第一線最厚約12-14m,往第二線至後方道路中心線漸薄。此可説明:為何碼頭後線第一線下陷量較大及大坑洞較多?除了因碼頭外移增加下陷量,少量渗漏產生坑洞外,12-14m 厚之疏鬆土層亦為重要因素。

四、液化潛能評估

4.1 液化潛能之評估方法

本文分別以Shibata & Teparaksa (1988)所建立之液化臨界下限及Olsen (1997)、Robertson & Wride (1997)所建立之液化潛能曲線及賴聖耀(1999)所建立之液化潛能判別模式,及港研中心液化機率評估法,作為CPT評估液化潛能之依據。

4.2 液化潛能評估結果

台中港1至4A碼頭距離921地 震之震央約55公里,根據中央氣象 局提供921地震之資料,另本中心 根據926之實測資料,推估台中港 區921主震時之可能PGA值為160 gal。

本文以本次地質調查之18孔電子式水壓錐貫入試驗(CPTU)為評估地震引致液化之分析依據,其液化潛能分析結果,分為碼頭後線第一線即A-A斷面、第二線即B-B斷面及後方道路中心線即C-C斷面

等3個部分討論:

以安全係數比較:後線第一線 最低,第二線次低,後方道路中心線較 高。以液化機率比較:後線第一線最高, 第二線次高,後方道路中心線較低 。以液化土層深度比較:後線第一 線可能液化之土層最厚,其可能液化 土層約為地表下2.8~14m,後線第二 線可能液化之土層次厚,其可能液化 土層約為地表下2.8~12m,後方道路 中心線可能液化之土層最薄,其可 能液化之土層約為地表下2.8~10 m。

4.3 液化危害指數(L)分析結果

為瞭解921地震發生時台中港 1至4碼頭液化危害之影響程度,根 據各孔以各種CPT液化分析方法求 得安全係數,以20 M 進行加權計 算,計算得出各孔之液化危害指數 (IL)及液化機率 P_L w,如表1及圖 7至圖9所示:

若IL=0, P_L w<0.1為液化危害度極低者; 0<IL<5, 0.1< P_L w<0.2為液化危害度輕微者; 5<IL<15, 0.2< P_L w<0.3 為液化危害度中度者; 15<IL, 0.3< P_L w為液化危害度嚴重者。

由表1顯示:

後線第一線之平均液化危害指數: R & W法、Olsen法和Lai法分析結果為中度液化, S & T法分析結果為嚴重液化, 而平均液化機率約為約0.4。

後線第二線之平均液化危害指數:R & W法、Olsen法分析結果為

中度液化,S&T法分析結果為嚴重液化,Lai法分析結果為輕度液化,而平均液化機率約為0.3。後方道路中心線之平均液化危害指數:Olsen 法、Lai 法分析結果為輕度液化,R&W法、S&T法為中度液化,而平均液化機率約為0.23。

1至4號碼頭後線全區之平均液化危害指數:由整體之分析結果顯示,R & W法、Olsen法分析結果為中度液化,S & T法分析結果為嚴重液化,Lai法分析結果為輕度液化,而平均液化機率約為0.32。整體而言應為中度液化。

五、地震下陷潛能分析

5.1 921大地震震陷潛能分析結果

本文以本次地質調查之18孔電子式水壓錐貫入試驗(CPTU)為評估地震引致沉陷之分析依據,分別以Olsen(1998)、R & W(1998)、S & T (1988)、賴聖耀(1999)誤差機率 P=0.29 之判別式及港研中心(2000)液化機率 $P_{L}=0.5$ 之判別式,再結合 Ishihara et al.(1991,1996)所建立之 q_{c} 值,抗液化安全係數及體積應變之相關經驗圖,作為CPT評估地震沉陷之依據,分析各孔20m内之沉陷量及區域沉陷圖,分別如表2及圖10至圖11所示:

分析結果將分為碼頭後線第一線即A-A斷面、第二線即B-B斷面及後方道路中心線即 C-C 斷面等 3 個部分討論。由表2顯示:

後線第一線之平均沉陷:最大

為52cm,最小為30.6cm。以S&T法分析結果最大,Olsen 法分析結果最小。其中Lai法分析結果為52cm。

後線第二線之平均沉陷:最大為49.5cm,最小為25.8cm。以S&T法分析結果最大,Lai法分析結果最小。其中Olsen法、R&W法分析結果,第二線之平均沉陷比第一線之平均沉陷還大。

後方道路中心線之平均沉陷: 最大為33.3cm,最小為6.4cm。以S & T法分析結果最大, Olsen法分析結果最小。其中 Lai 法分析結果 為9.2cm。

1至4號碼頭後線全區之平均沉陷:由整體之分析結果顯示,第一線之平均沉陷最大,第二線之平均沉陷成之,後方道路中心線之平均沉陷最小。

5.2 震陷分析與現地災害比較

921地震台中港一至四號碼頭 後線背填土區之下陷,依據震後水 準測量之估算,一至四號碼頭後線 總面積約為6萬m²,總下陷體積約 為3.7萬 m³,其下陷原因依本中心 分析約可分三方面:

- (1)一至三號碼頭沉箱平均外移約 0.9m 、四號碼頭沉箱平均外移約0.5m,共 填補沉箱外移之填砂量約有1.5萬m³
- (2)根據宇泰公司估算一至四號碼頭 沉箱基腳淤砂量約有0.6萬m³。
- (3)總下陷體積減去(1)、(2)項體積, 即為背填土區震陷之體積約有1.6萬 m³,因此背填土區液化之平均下 陷約為27公分。

由以上現地災害之下陷分析與 表2五種震陷分析比較結果,筆者初 步認為Olsen法、Lai 法及Liao 法 較接近現地災害之下陷分析。

六、碼頭之穩定性分析

台中港1至4A號碼頭皆屬沉箱 重力式碼頭,在受到地震力時順大 但構造物本身有慣性力,背填土 引致動態土壓力及動態水壓力,整 背填土壤發生液化,亦產產生 之側壓力,造成港灣構造物化之 穩定,背填土壤部分深度 部分深度非液化不 多 321台中港1號碼頭未液化 分析探討,其分析結果如表 3所示

由本文第三節之液化潛能分析 得知,921台中港1至3號碼頭後線,其可 能液化土層約為地表下2.8~14m, 而且碼頭有背填卵石,由表3分析結果 顯示,其抗滑動安全係數,FS=0.87. 因此碼頭不穩定,而向海側移動。

七、結論與建議

- 1.根據本中心之推估,921 集集大 地震台中港距離震央約55公里, PGA值為160gal。
- 2.根據碼頭基礎竣工圖研判,自沉箱至現有倉儲區亦即本次地震發生液化及嚴重破壞範圍內均屬水力回填區,其回填厚度由碼頭岸肩附近之12-16公尺逐漸遞減至鐵軌之1-3公尺,而水力回填砂處厚之區域液化及下陷等破壞愈嚴重,因此碼頭後線破壞程度:1至3號最大,4號次之,4A號最小。且各碼頭後線距離碼頭岸肩愈近破壞愈輕微。
- 3.根據 CPT 地質調查試驗,碼頭後線之水力回填砂土質非常疏鬆軟弱,其CPT-q。值小於50kg/cm²,且距離碼頭岸肩愈遠之區域疏鬆軟弱層愈薄,此與回填砂厚薄趨勢吻合;而原沖積土層較為堅硬,其CPT-q。值約為50-150kg/cm²,唯在部份地區如1號碼頭鐵道及3-4號碼頭交界附近鐵道,其原沖積土層亦非常疏鬆軟弱,此可說明該地區為何有大面積之液化噴砂?
- 4.由液化危害指數分析:1至4號 碼頭後線之液化程度為中度液化 ,平均液化機率約為0.32。在碼 頭岸肩附近可能液化之土層深度 約為地表下2.5-14m。
- 5.1-4號碼頭後線下陷之原因,約可 分三方面:土壤液化造成平均下

- 陷約為27公分;沉箱外移之填砂量約有1.5萬m³,其造成平均下陷約為25公分;渗漏量約有0.6萬m3.其造成平均下陷約為10公分。
- 6.沉箱式碼頭向海側移動 0.5至1.7 公尺之原因:除了地震引致沉箱 之慣性力外,可能是背填土之液 化超額孔隙水壓力及液化時之動 流體壓力所造成。液化超額孔隙 水壓力約為未液化主動土壓力之 1.7倍。

參考文獻

- 1.台中港務局 (1976),「台中港第一期工程完工報告」。
- 2.港灣研究中心(1999)「台中港1 ~4A碼頭921地震液化災損初步 調查研究」 港灣研究中心專刊 172號。
- 3.賴聖耀、謝明志(2000)「港灣地 區土壤液化與震陷潛能評估」, 港灣工程耐震安全評估與災害防 治研討會。
- 4. Ishihara, K., Yasuda, S., and Nagase, H., (1996), "Soil characteristics and ground damage ", Special Issue of Soils and Foundations, pp.109-118
- 5. Iwasaki, T., Arakawa, T. and Tokida, K. (1982), "Simplified Procedures for Assessing Soil Liquefaction During Earthquakes", Soil Dynamics and Earthquake Engineering Conference Southampton, pp.925-939.

- 6. Olsen, R. S. (1998), "Cyclic Liquefaction Based on the Cone Penetrometer test," In Proceedings of the 1996 NCEER Workshop on Evaluation of Liquefaction Resistance of Soil. Edited by T.L. Youd and I.M. Idriss. NCEER-97-0022.
- 7. Robertson, P. K. and Wride C. E. (1998), "Cyclic Liquefaction and its Evaluation Based on SPT and CPT", Proceedings of the NCEER Workshop on Evaluation of Liquefaction Resistance of Soil, Edited by T. L. Youd and I. M. Idriss. NCEER -97-0022.
- 8. Shibata, T. and Teparaksa, W., (1988), "Evaluation of lique-faction Potentials of Soil Using Cone Penetration Tests", Soils and foundations, Vol.28, No.2, pp.49-60.
- 9. Tokimatsu, K. and Seed,H.B. (1987), "Evaluation of settlements in sands due to earthquake shaking, "Journal of ASCE, Vol.113, GT8, pp.861-878.
- 10.日本(財)沿岸開發技術研究センター(1997),「埋立地の液狀化 對策ハントフシク」。
- 11.日本土質工學會(1993),「液狀 化對策の調査、設計から施工ま て」。

表1 台中港區1-4號碼頭後線回填區921大地震液化危害指數(IL)

孔號	(Olsen, 1998 + Iwasaki, 1986) 危害指數IL	(R & W , 1998 + Iwasaki, 1986) 危害指數IL	(S & T,1988 + Iwasaki,1986) 危害指數IL	(Lai-P=0.20 + Iwasaki,1986) 危害指數IL	(港研中心 + Liao, 1988)液化 機率P _L W
後線第一 線平均值	9. 55	12. 98	27. 01	5. 41	0.39
後線第二線平均值	8. 92	12. 69	23. 21	2. 92	0.30
後線道路中心線平	0.87	5. 85	6. 91	0.33	0. 23
均值 後線總平 均值	7. 74	11. 15	20.60	3. 28	0. 32

表2 台中港區1-4號碼頭後線回填區921大地震引致土層之沉陷量

	· pc=	<u> </u>	Man X Cours		4 % OT 124 2E
孔號	(Olsen, 1998 +	(R & W , 1998 +	(S & T, 1988 +	(Lai-P=0, 29 +	(港研中心-PL=0.5
	Ishihara, 1996)	Ishihara, 1996)	Ishihara, 1996)	Ishihara, 1996)	+ Ishihara, 1996)
	沉陷(cm)	沉陷(cm)	沉陷(cm)	沉陷(cm)	沉陷(cm)
後線第一線平	30. 62	46. 96	52. 07	40. 46	44. 37
均值					
後線第二線平	32. 96	47.14	49. 54	25. 80	27. 47
均值					
後線道路中心	6. 43	33. 34	28. 51	9. 24	11.64
線平均值					
後線總平均值	26. 29	43. 95	45. 70	27. 27	29. 91

表 3 921 台中港 1~3 號碼頭抗滑動之穩定性分析

衣	3 921 台中港 1	~3 號碼頭抓	消動之稳足	性分析		
	未液化	全部	液化	部分》	夜化	
				(地表下 2.8	~14m 液化)	
地震力係數 K _h	0. 163	0.	163	0.163		
考慮背填卵石	是	否	是	否	是	
抗摩擦力(t/m)	269. 41	269.41	430	269. 41	348. 44	
慣性力	124. 87	124.87	199.85	124. 87	161.67	
殘留水壓力	23. 48	23.48	23. 48	23. 48	23. 48	
動態土壓力 +						
陸側動水壓力	112.06	3.13	3.13	49. 24	49. 24	
海側動水壓力	21.10	21.10	21.10	21.10	21.10	
液化之動流體壓力	0	51.14	51.14	23. 42	23. 42	
液化之超額孔隙水壓力	0	217.14	217. 14	119.17	119.17	
抗滑動安全係數	0.96	0.61	0.83	0.75	0.87	
FS	(日本 1999 年基準)					
	1.03					
	(原基準)				-	



照片 1-1 台中港 1 號碼頭後線背填土之砂液化流 失,造成約 4-5m 深之大坑洞,地表並留 下約 10cm 厚之噴砂



照片 1-3 台中港 3 號碼頭輸送帶支架下陷約 50 cm



照片 1-2 台中港 1 號碼頭後線排水溝附近之土壤 液化, 地表並留下約 15cm 厚之噴砂



照片 1-4 台中港 3 號碼頭後線之土壤液化, 地表留下之圓形噴砂孔

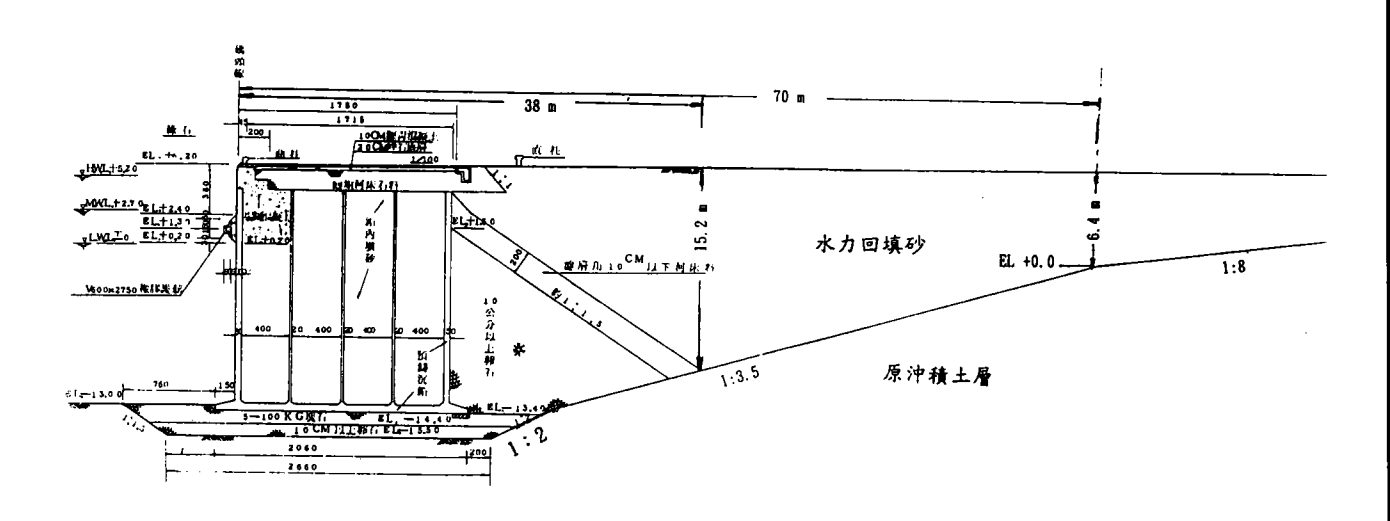


圖1 1至3號碼頭竣工斷面圖

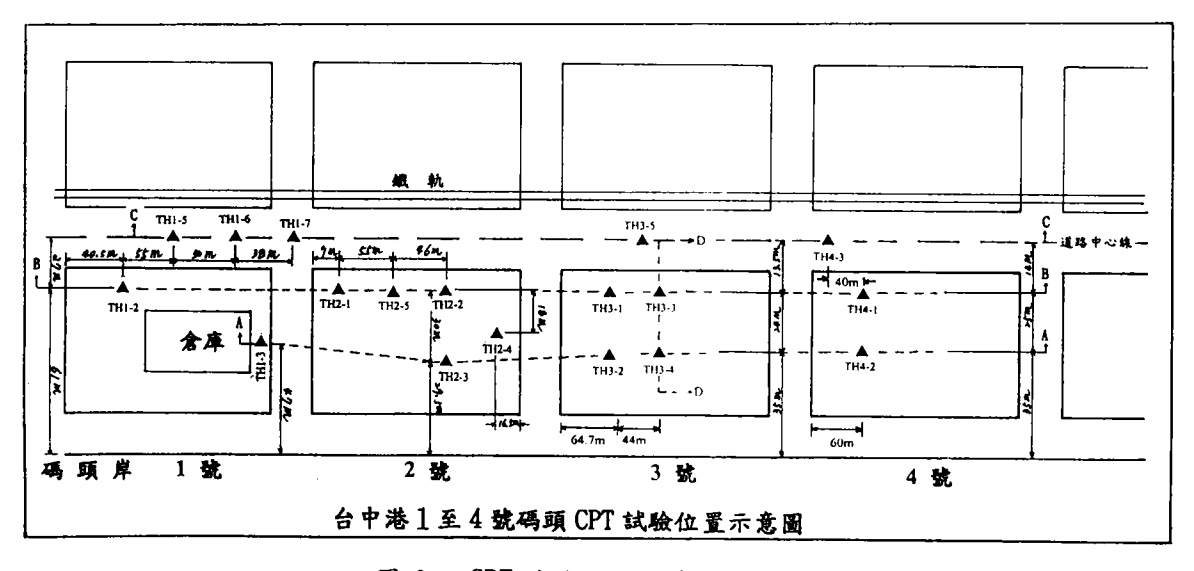


圖 2 CPT 試驗位置示意圖

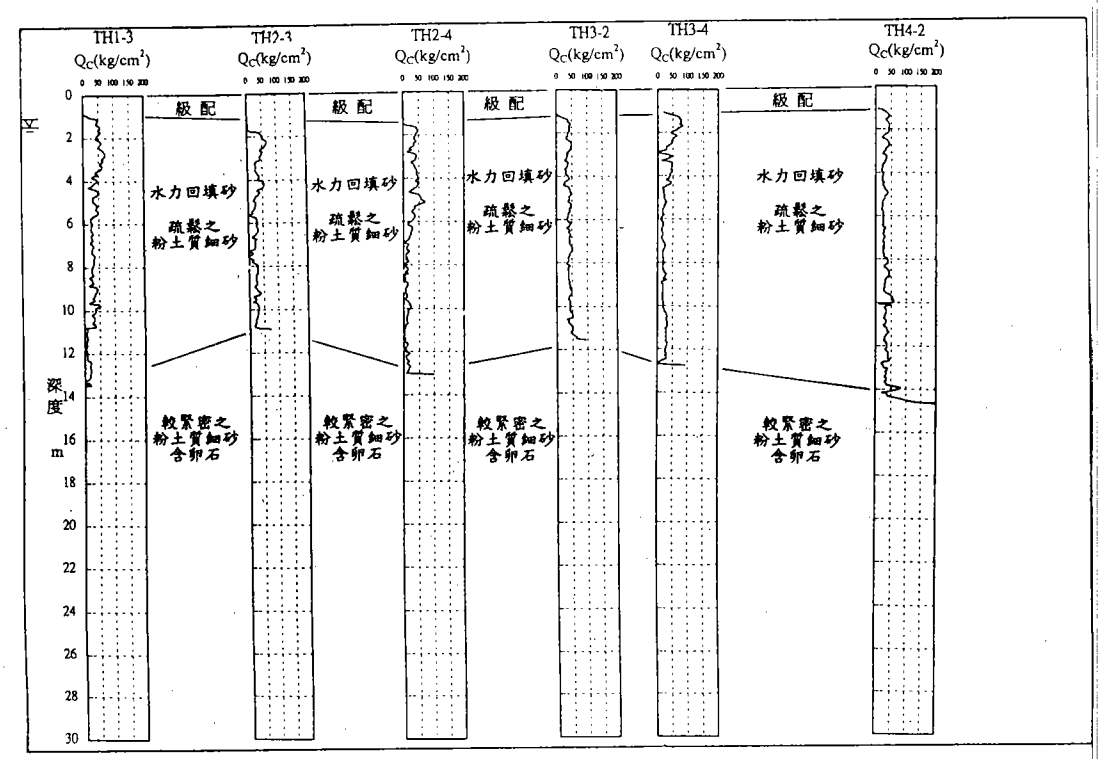


圖 3 A-A 斷面(碼頭之後線第一線, 距沉箱約 17 公尺)土層分佈圖

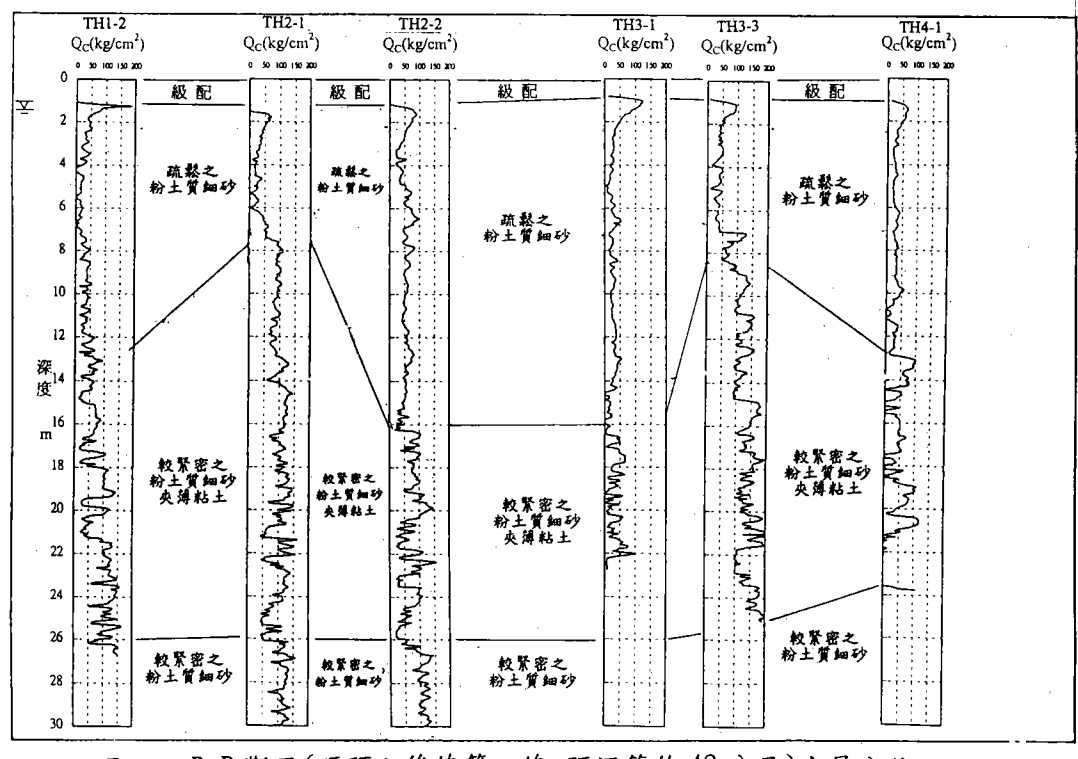


圖 4 B-B 斷面(碼頭之後線第二線, 距沉箱約 42 公尺) 土層分佈圖

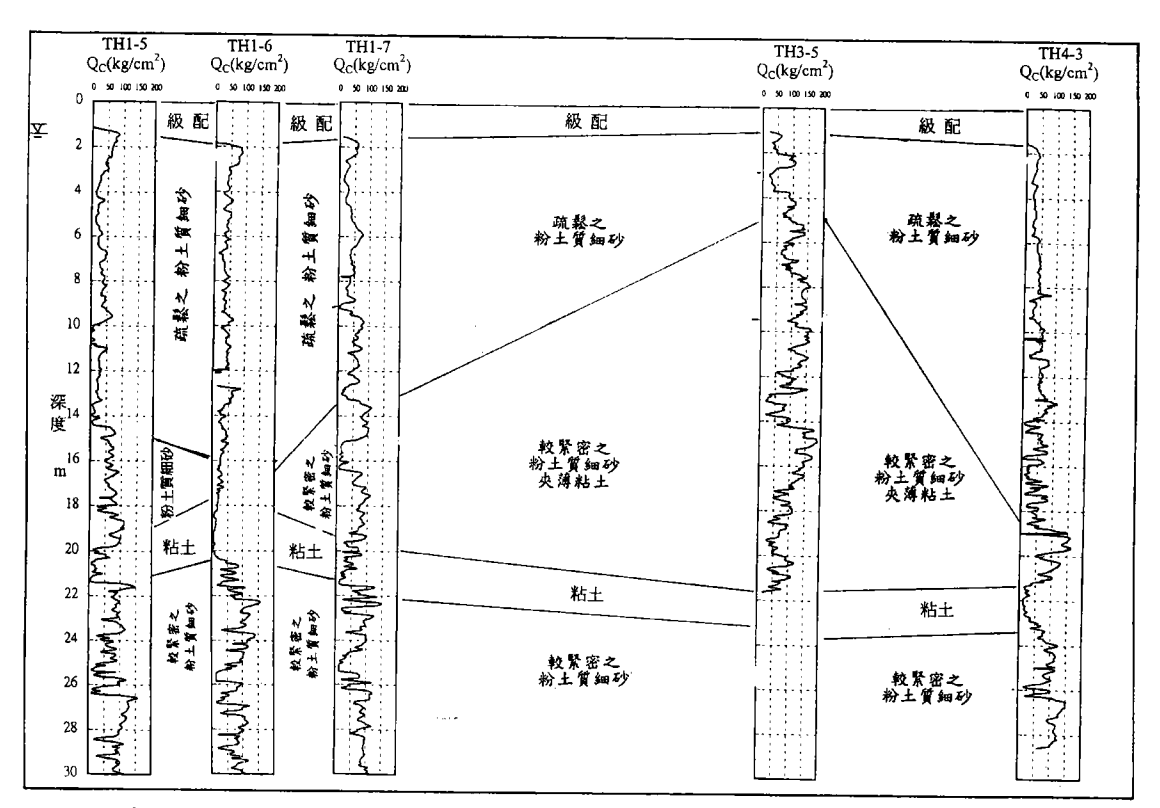


圖 5 C-C 斷面(後方道路中心線, 距沉箱約 57 公尺)土層分佈圖

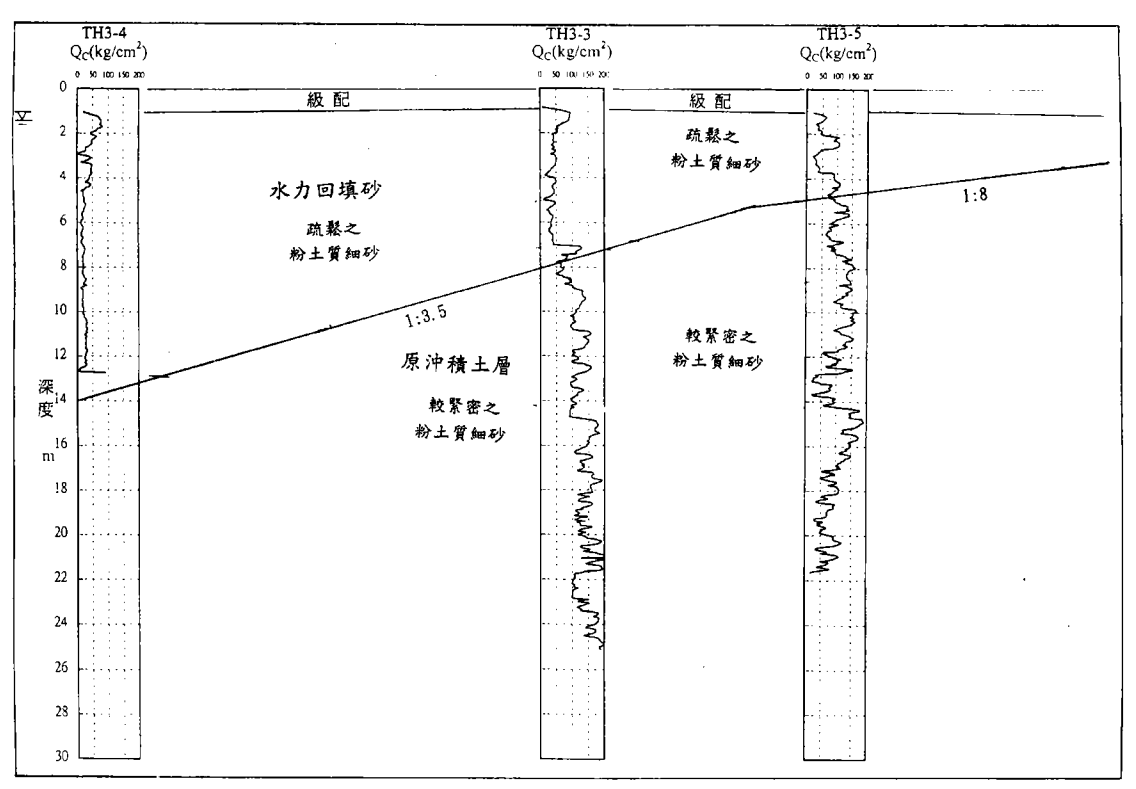
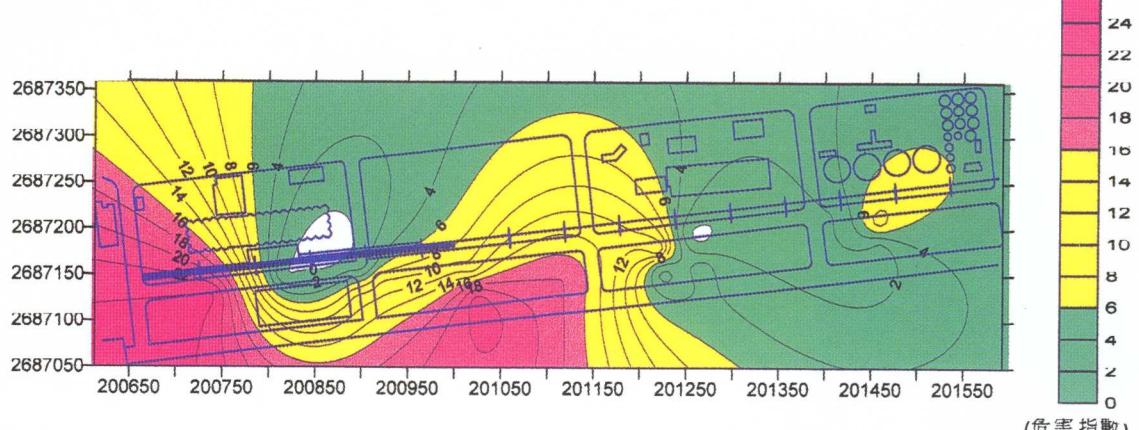


圖 6 D-D 斷面(垂直碼頭法線之 3 號碼頭後線縱斷面)土層分佈圖



(危害指數) 圖 7 台中港1-4 號碼 頭Olsen(1988)+Iwasaki(1986) CPT 方法 評估液 化危 害指數之分析 結果

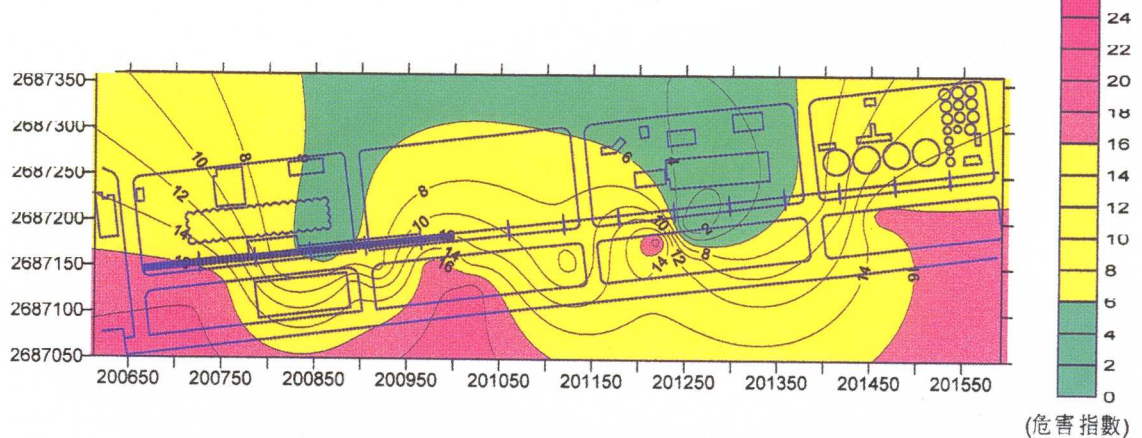


圖 8 台中港1-4 號碼 頭R & W(1988)+Iwasaki(1986) CPT 方法 評估液 化危 害指數之分析 結果

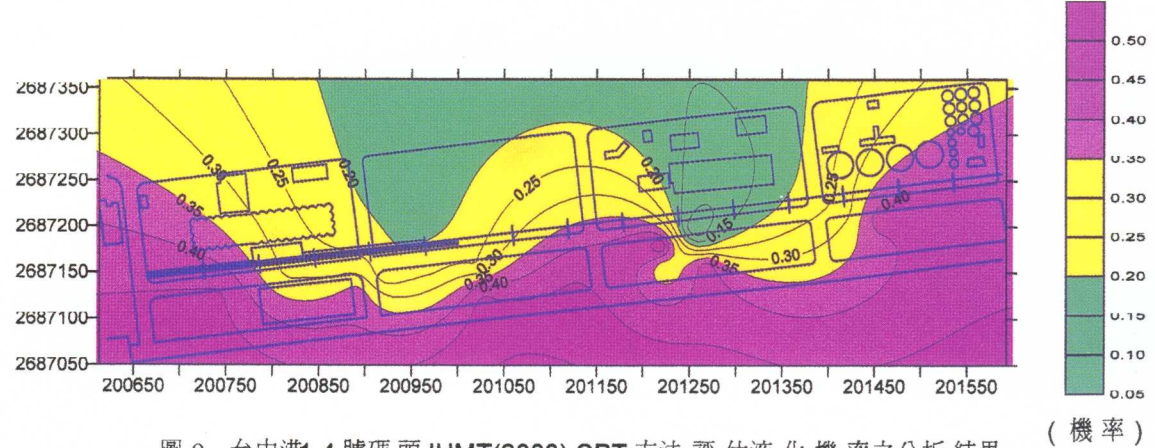
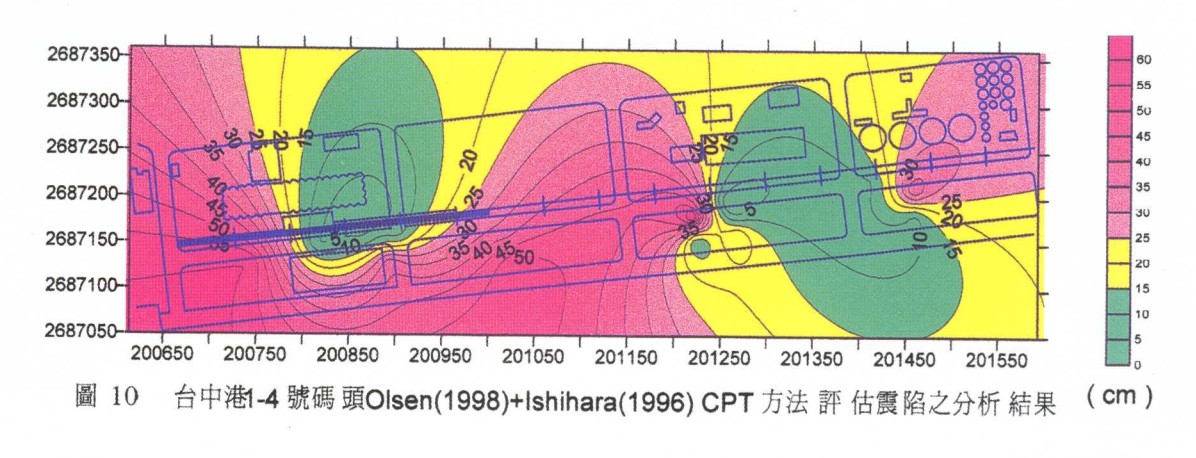
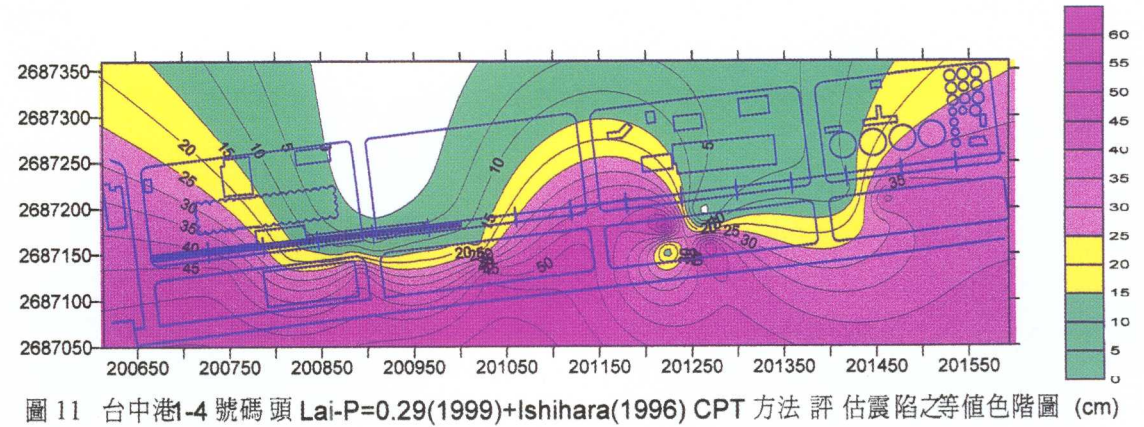


圖 9 台中港1-4 號碼 頭 IHMT(2000) CPT 方法 評 估液 化 機 率之分析 結果





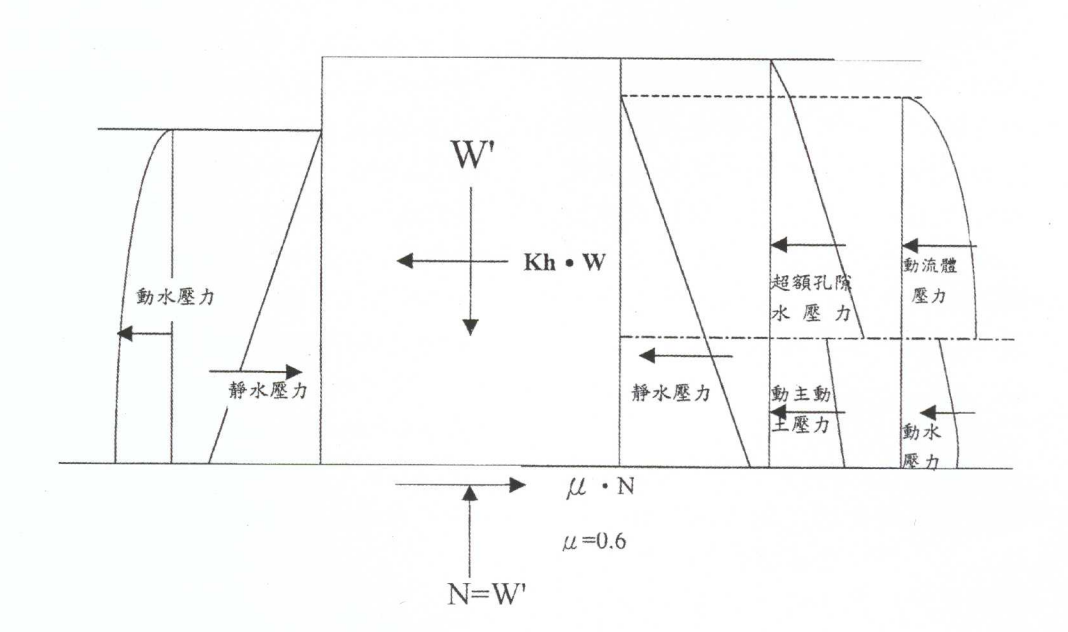


圖 12 背填土壤部份液化之沉箱式碼頭受力示意圖

金門水頭建港海象條件

沈建全 國立高雄海洋技術學院海環副教授兼系主任 吳念祖 中與工程顧問有限公司 工程師 龔誠山 中與工程顧問有限公司 經理

一、前言

二、風速、風象

風速、風向乃一地之基本氣象 資料,其在商港建設上則對於商船 進出港口側向受風力影響,可提出 實測資料以供參考,風速、風向資 料亦可提供船舶錨泊繫纜等作用力 估算參考,此外對於數值模式推估 波浪、海流等皆屬必須之資料,尤其此乃建港環境影響評估所必須者。

水頭商港風速風向自每年十月 份起至翌年四至五月份皆以東北季 風為主要風向, 其單一方位風向比 例甚至可達50%以上,僅在六、七 、八、九月以南風或西南風為主要 季風型態,除夏季外,春、秋、冬 季皆盛行東北季風,平均風速分布 全年統計結果 0-2m/s 者佔 52.07 % , 2-4m/s者佔17.59%, 4-6m/s者 佔14.8%, 6-8 m/s者佔10.63%, 8-10m/s者佔3.94%, 大於10m/s者佔 0.96%, 全年平均風速為3.0m/s; 全年測得最大瞬時風速為 19.04m/s, 出現在86年8月30日卡絲颱風來襲 時。夏季除非颱風來襲,否則風速 甚小(平均約1.4m/s),秋、冬季之 10、11、1、2等四個月由於東北 季風強勁,其平均風速可達4.3m/s

三、潮汐

潮汐乃任一海域建港之最基本

資料,由潮汐之長短、高低及最低、最高水位可決定碼頭面高程及航道須濬挖到何深度,且潮汐型態偏向半日潮型或全日潮型等皆左右後港口營運狀況,與廈門水頭商遙相對達大陸九龍江口,與廈門島遙相對寬,其特色乃潮差特大,潮間帶寬廣港施工及往後航運倍增困擾。

水頭商港潮汐以半日潮M。、S。為 主要分潮,全日潮之分量甚小。全 年觀測到之最高潮位為650cm,最 低潮位為 34cm , 最大潮差為 616 cm, 月潮差最大者為87年3月份之 598cm, 最小者為86年8月之451 cm , 平均月平均高潮位為 553.03 cm , 平均月平均低潮位為 155.91 cm, 平均月平均潮差為397.12cm , 全年平均潮位為 344.95cm。 絕 對水溫最高為6月份之29.04℃,最 低為1月份之10.99℃,月平均水 溫介於27.31℃至13.87℃之間,年 平均水温為21.01℃。每年12月至 次年3月其水溫較低,影響水下施 エ。

四、海流

海流資料為任何海域建港之基本資料,海流之強弱決定將來海上操船進出口之側向力,並對其安全性有重大影響;金門水頭海域位處福建九龍江口其潮汐漲退導致之潮流強大,屬於浪小、流浪、潮差大之海域,強大之海流對於將來築港工程及港域完成後之營運皆會造成重大影響,為防範未然,因此乃需

要對港區海域之海流做完整之調查,以作為規劃、設計及營運之參考。

水頭海域定點海流共進行北、 中、 南三站之調查, 其調查結果顯示 , 平均流速在四季中以夏、 冬二季在 中間B站流速較大, 分別為 21.24 cm/s 及 17.21 cm/s , 而南邊 C站則在 秋、 春二季流速最大, 分別為 30.51 cm/s及21.23cm/s。 測得之最大流 速在夏季以中間B站之 106.59 為最大, 秋、冬、春三季則以北邊A站之111.82 cm/s 、119.66cm/s 及 126.93cm/s 為最大, 其中 126.93 cm/s 為全年 三測站所測得之最大中層流速。 流速絕 對值平均除夏季以B站之38.53cm/s為 最大外,其餘三季分別以A站之48.57 cm/s 、 47.16cm/s 及 49.11cm/s 為 最大。此外在金龜尾岬角(水頭商 港西南為航道必經之處),其流速 最大,估計約有4-5節之流速,宜 小心規劃。

海流流向在漲潮時朝東北流動 ,退潮時朝西南流動,以後者佔優 勢。 在全年流向主要以朝正南 (S) 到西南 (SW)為主要流向,朝正北 (N) 到東北 (NE) 為次要流向,一般 而言,朝西南者其流向百分比較朝 東北者佔有 2 倍左右之優勢,故整 體水質量朝西南流動。

五、漂流浮標

漂流浮標追蹤調查其目的乃在 調查表面海流之流速、流向及在漲 、退潮時之流線、流跡或流型,此 種方法一方面可以拉格蘭其方式了 解海流之流跡,以補定點尤拉式海流觀測之不足,一方面可獲得即時之海流流線資料,以補充萬一定點式海流儀資料不佳或儀器流失之窘境,故常為一般調查海流流速、流向者所喜歡使用。

金門水頭海域漂流浮標追蹤調查 結果, A點表層漂流速度可達 171.7 cm/s, P點可達133.56 cm/s, C 點更可達218.43cm/s,在退潮時北邊不點漂流浮標皆往西南流動,半週 選在點漂流浮標皆往西南流動,半圓 再往北北東或東北流動。中間已點 則介於二者之間。而在漲潮時段上 與商港預定海域有一順時針之二次 海流有朝相反向流動現象,其原因 有可能為強烈漲潮流導致之二次環 流現象。

六、波浪

金門水頭商港預定海域,屬於 九龍江出海口之河口內灣,其揚波 距離除北方及北北西方以外皆甚短 ,不足以形成大波巨浪,其波浪雖 小,但歷年來幾乎沒有任何學術單 位在此測過波浪,故其資料一直十 分缺乏。

水頭商港波高不大,大部份時候波高共有 5-20cm ,但在秋季颱風來襲時其示性波高可達 1.25m ,最大波高可達 2.5m ,週期一般介於 3-8 秒之間,另外亦有部份長週期湧浪(波高 10cm 左右,週期大於10秒者)自台灣海峽繞射進入。此外在88年恰逢波高計撤回時候,

但據金門船家估計約有3公尺左右之波高。

七、底質、懸浮底質及沿岸流

海底底質調查其重要性乃在於確定海底底質成份,其承載強度等,此等資料可作為將來興建防波堤時,底質受到重壓,是否會造成大量不均勻沈陷而導致防波堤崩塌,或將來濬挖航道及泊地難易程度之參考。

水頭海域海底底質調查結果,在0-15m間共8個斷面,其平均粒徑D₅₀在夏季介於0.19-2.0mm之間,在秋季介於0.20-0.65mm之間,在冬季介於0.45-0.90mm之間,在春季則介於0.16-0.30mm之間,以冬季粒徑最大,秋季次之,夏季再次之,春季最小。其底質黏稠性不住,顏色為灰棕色或紅棕色,含有大量花岡石碎屑或石英結晶體顆粒

海底懸浮底質調查之目的有二 ,其一乃在觀測某地海底之細小懸 浮顆粒之大小及數量,以作為造成 海底混濁懸浮質估算之依據,另一 方面亦可作為海底底質移動懸浮漂 砂量計算之參考。但本項調查在執 行上困難度頗高,且精確性不佳, 故一般並未將其當成是海況調查之 重要項目。

將全年四季懸浮底質調查結果 ,各季、各斷面八方向二種深度所 捕獲之懸浮底質總量相加,可製成 表 6-2-5 ,由其中可知各季各斷面 所採得懸浮底質總量,再將其相加

則可得到各季所採得懸浮底質總量 ,由表中可得知夏季-5m、-10m深 ,八方向捕沙總量為1093.58g,秋 季為804.6g,冬季為2011.86g,春 季為96.12g;四季中以冬季捕沙量 居冠,夏季次之,秋季再次之,春 季最少,約只有冬季之20分之1。 顯見金門水頭商港水域懸浮底質活 動量以冬季最強,夏、秋季次之, 春季最弱。但因本調查皆在海況良 好下,以潛水伕下水安置及回收捕 沙器, 其水中停留時間長短不一(以24小時為準,誤差為1-2小時) , 故不易進行修正, 況且懸浮底質 大量活動時,往往皆是颱風巨浪肆 虐及強烈季風,夾雜強烈海流同時 作用所致,而此時卻又是潛水作業 最無法進行之時刻,因此本項調查 可能會錯過最大懸浮底質發生時段 ,其只具有定性結果,僅可供參考 之用,但無法據以評估漂沙量。

懸浮底質活動量以冬季最強, 夏、秋季次之,春季最少,但因皆 在海象狀況較佳日下水調查,未能 求得最大值,其結果僅供參考。

沿岸流漂流調查其目的乃在調查波浪碎波後輻射應力所帶動之沿岸表面海流之流速、流向,此種漂流浮標調查方法一方面可以拉格蘭其方式了解沿岸海流之流跡,以補定點沿岸流尤拉式海流觀測之不足,一方面可獲得即時之沿岸海流流線資料,故常為一般調查沿岸海流

流速、流向者所喜歡使用。但由於 金門水頭商港海域其波浪甚小,除 少數時間波浪甚少碎波,故沿岸流 之調查不易,不調查乃近似於近岸 流之調查,但其結果亦可提供給設 計單位參考,或可供數值模擬近岸 場域流型之判斷參考。

沿岸流漂流浮標調查結果顯示 ,在四季之漲潮時段,水頭沿岸流 皆有由東北朝西南流動之趨勢, 與北邊及中間A、B二站之中 層海流方向相反,而與C點中層 流相似,且呈現一順時針方向相 動,與漂流浮標追蹤調查者相同 其原因乃由於漲潮流太強所導致之 二次流及東北季風吹拂作用,但以 前者較有可能。

八、結論

九、附表 表1 金門水頭商港週年風速、風向特性表

月份	月平均風速	月	最大風	速	月主要風向及其所佔百分率
	風速 (m/s)	瞬時風速 m/s	風向	發生日期 及時間	·
86年8月	2.27	19.04	NNE	8.30 11:00	S (15.28%) · SSW(11.19%) · NNE(9.77%) · NE(8.88%)
86年9月	3.7	15.06	NE	9.22 18:00	NE(26.53%) · NNE(24.86%) · S(11.25%) · ENE(8.89%)
86年10月	4.3	16.49	NE	10.31 13:00	NE(46.37%) · NNE(22.04%) · ENE(8.2%) · ESE(4.7%)
86年11月	4.06	14	ENE	11.1 1:00	NE(33.33%) · NNE(25.07%) · N(7.08%) · ENE(5.31%)
86 年 12 月	3.62	13.67	NNE	12.10 11:00	NE(45.38%) · NNE(12.45%) · ENE(5.22%) · E(5.22%)
87 年 1 月	4.23	12.62	NE	1.29 10:00	NE(50.93%) · NNE(15.42%) · S(5.14%) · NNW(4.67%)
87年2月	3.94	13.18	NE	2.28 14:00	NE(51.25%) \ \ \ \ \ \ \ \ \ \ \ \ \ \ \ \ \ \ \
87年3月	2.72	11.81	NE	3.1 13:00	NE(42.50%) \ S(9.64%) \ NNE(7.14%) \ ENE(6.43%)
87年4月	2.19	12.8	NE	4.2 4:00	NE(24.79%) · S(16.57%) · SSE(11.84%) · SSW(7.94%)
87 年 5 月	2.83	12.27	NE	5.27 7:00	NE(41.7%) · NNE(12.42%) · S(7.69%) · ENE(7.02%)
87年 6月	1.79	12.63	NE	6.3 16:00	S(20.39%) \ NE(15.33%) \ SSE(10.55%) \ \ NNE(10.41%)
87 年 7 月	1.58	12.52	NN W	7.27 19:00	S(27.02%) \ SSW(18.41%) \ SSE(7.8%) \ SW(7.66%)
87年8月	1.39	9.94	S	8.4 10:00	SSW(36.43%) \ S(26.80%) \ SW(7.56%) \ SSE(7.22%)
春季	2.55	12.8	NE	4.2 4:00	NE(34.85%) \(S(11.67%) \\ NNE(9.20%) \(SSE(7.07%) \)
夏季	1.79	19.04	NNE	8.30 11:00	S(22.09%) \ SSW(15.16%) \ SSE(8.66%) \ \ NE(8.58%)
秋季	4.04	16.49	NE	10.31 13:00	NE(35.57%) \ NNE(23.95%) \ ENE(7.52%) \ \ S(5.88%)
冬季	3.91	14	NE	1.29 10:00	NE(48.80%) \ NNE(12.20%) \ S(5.14%) \ \ NNW(4.49%)
年統計	3.00	19.04	NNE	8.30 11:00	NE(31.23%) \ NNE(13.05%) \ S(11.24%) \ SSW(7.31%)

表 2 金門水頭商港週年潮汐特性表

性貴月份		發生 時間	月 最 低 潮 (cm)	發生時間	月潮 最 大差 (cm)	月高 平 均潮 (cm)	月低 平 均潮 (cm)	月潮 平 均差 (cm)	月潮 平 均位 (cm)	月水 最 高温 (cm)	月水 最 低温 (cm)	月水 平 均溫 (cm)
86/8	533	8.8 3:00	82	8.7 20:50	451	508.31	156.92	351.39	325.45	28.56	26.46	27.31
86/9	626	9.20 3.06	54	9.20 8:36	572	538.76	146.10	392.66	338.61	27.09	23.14	25.10
86/10	634	10.17 13:45	59	10.14 5:22	575	550.87	147.98	402.89	341.15	26.52	20.22	24.65
86/11	628	11.17 14:10	34	11.16 7:10	594	544.76	148.33	396.43	337.97	22.84	17.67	20.95
86/12	641	12.2 13:30	60	12.15 6:50	581	574.00	174.93	399.07	365.92	21.28	14.94	17.55
87/1	635	1.29 13:20	48	1.30 7:30	587	562.26	167.55	394.71	359.03	18.30	10.99	14.67
87/2	647	2.28 13:50	61	2.12 7:10	586	550.93	151.62	399.31	344.10	15.76	11.80	13.87
87/3	650	3.1 14:00	52	3. 1 14:00	598	568.60	157.07	411.53	354.34	19.17	12.87	15.12
87/4	650	4.28 1:30	67	4.1 20:50	583	575.00	130.14	444.86	324.35	24.09	16.63	20.54
87/5	643	5.26 0:20	46	5.27 19:20	597	556.10	158.30	397.80	348.00	27.29	21.96	25.03
87/6	609	6.12 1:50	78	6.22 23:20	531	553.71	176.05	377.66	355.49	29.04	24.53	26.27
年 統 計	年 最 高 潮 位 (cm)	發生 時間	年 最 低 潮 位 (cm)	發 生 時 間	年最大潮差 (cm)	平均 均高 利 (cm)	平均 均低 月潮 (cm)	平均 均潮 月差 (cm)	年 平均 潮 (cm)	年最高水温(cm)	年最低水温(cm)	年 平 均 水 温 (cm)
	650	3.1 14:00	34	11.16 7:10	616	553.03	155.91	397.12	344.95	29.04	10.99	21.01

表 3 金門水頭商港海流調查四季各測站流速分佈表

流速絕對值平均 cm/sec		27.08	38.53	7.68	48.57	32.11	33.15	47.16	36.11	17.40	49.11	16.07	22.13
平均流速及流向	流向。	244.83	241.76	260	246.20	211.84	201.62	252.85	255.63	213.76	246.82	169.62	206.56
平均流	流速 cm/sec	8.77	21.24	5.39	18.20	18.44	30.51	14.75	17.21	16.44	17.61	8.81	21.37
及流向	流句。	207.85	217.30	245.02	203.65	233.98	250.90	206.45	213.1	24985	209.06	198.75	252.65
最大流速及流向	流速 cm/sec	58.76	106.59	91.62	111.82	106.54	85.66	119.66	100.19	53.88	126.93	46.67	52.56
	120 ± 7.1										0.38		
	100-				0.01			0.68			1.31		
	100-		0.28		1.78	0.01		1.97	0.01		2.43		
	8 29		1.89	0.08	4.09	0.14		4.02	0.46		3.49		
流速分佈 (cm/s) 與百分比 (%)	80-90		3.33	0.12	6.54	06:0	0.40	4.49	1.62		5.64		
百分二	70-80		5.44	0.20	9.62	3.25	2.27	7.64	4.28		8.2		
∯ (s/u	02-09		8.84	0.28	11.75	6.30	8.58	13.44	7.66		12.74		
条 (CI	40-50 50-60 60-70 70-80 80-90	0.92	10.78	0.28	14.37 13.21 11.75	9.93	12.80 14.03 13.55	5 13.42 14.73 13.44	96.6	0.14	15.31		0.37
东港分	40-50	22.08	14.76	0.44		6 13.67	14.03	13.42	15.56	4.43	12.61	0.52	23.18 29.86 14.98 16.59 15.02
	_	i <+	_	99.0	12.90	15.26	12.80	10.45	18.41	12.2	10.50 10.89 12.61	90.9	16.59
	20-30	23.30	14.72	2.56	9.95	17.28	18.03	19.61	17.68 16.94	19.93	10.50	23.92	14.98
	0-10 10-20 20-30 30-40	14.83 17.43 23.30 21.4	13.07 11.90 14.72 14.99	75.69 19.66	8.95	15.16 18.10 17.28 15.2	16.16 14.19 18.03	9.24 10.32 9.61	17.68	32.03 31.28 19.93	9.24	25.70 43.81 23.92	29.86
	0-10	14.83	13.07	75.69	6.83	15.16	16.16	9.24	7.43	32.03	7.52	25.70	23.18
有效資料時段	(H. K. H.)	86.8.15 – 86.8.30	86.8.15 – 86.9.08	86.7.4 – 86.7.30	86.9.26 – 86.10.9	86.9.27 – 86.10.22	86.9.27 – 86.10.22	87.1.9 –	87.1.9 – 87.2.05	87.1.10 - 87.1.31	87.4.24-87.5.24	87.4.24- 87.5.14	87.4.24- 87.5.2
*	H	A A	Ø B	夏C	₩ ₩	¥ B	茶C	* A	ķ B	% C	春A	春B	奉C

表 4 金門水頭南港海流調查四季各測站流向分佈表

*	有效資料時段		:					漢	10分佈	與百分	流向分佈與百分比(%)						
絕	(年.月.日)	N	NNNE	-NĖENEEESE	NE	EES	ES	ES	SE;	SS	3WS	WW	SWV	VW	/WN	-SESSESSWSWWNWWNWNWNWW	{WN
夏A	86.8.15-86.8.30	11.74	15.43	6.12	2.81	1.52	1.84	2.33	3.59	10.01	40.55	1.22	0.48	0.14	0.07	0.23	1.29
夏 B	86.8.15-86.9.08	1.11	6.74	11.74	10.35	3.23	1.51	1.89	3.00	5.63	46.39	7.64	0.28	0.15	0.12	0.15	0.36
夏 C	86.7.4-86.7.30	7.45	3.80	3.84	3.80	2.64	3.40	10.05	29.64	30.80	1.20	1.32	1.28	0.32	0.12	0.08	0.20
X A	秋 A 86.9.26-86.10.9	4.13	21.67	8.65	2.10	1.01	0.87	1.28	1.65	3.18	49.58	3.33	0.40	0.59	0.59	0.36	09.0
秋 B	86.9.27-86.10.22	9.02	7.14	5.81	6.13	1.54	0.31	0.36	0.45	0.95	14.70	42.35	4.14	1.36	1.18	1.24	3.33
¥ C	₹ C 86.9.27-86.10.22	0.32	0.67	1.32	2.34	2.64	1.46	1.11	1.28	1.66	3.46	35.59	46.24	1.14	0.33	0.21	0.22
* A	87.1.9-87.1.22	9.00	19.56	7.74	2.7	2.07	2.15	2.05	2.21	9.32	42.56	0.21	0.18	0.11	0.03	0.05	0.05
& B	87.1.9-87.2.05	0.01	8.12	11.36	9.78	3.94	2.24	2.28	2.75	7.52	51.48	0.41	0.03	0.01	0.03	0.01	0.05
*C	87.1.10-87.1.31	0.00	0.00	0.01	0.00	0.43	4.91	5.68	2.04	0.3	4.12	78.12	4.2	0.05	90.0	0	0
春A	87.4.24-87.5.24	90.9	22.02	7.61	2.17	1.41	1.47	2.31	3.60	8.34	45.02	0.01	0.01	0.05	0.01	0.05	0.19
春B	87.4.24-87.5.14	0.79	6.74	11.95	10.56	5.35	1.03	1.03	11.56 43.33	43.33	6.53	0.29	0.27	0.21	0.00	0.04	0.31
春C	春 C 87.4.24-87.5.02	0.00	0.00	0.00	0.05	0.23	2.07	3.50	1.52	0.92	2.58	63.55	24.10	0.23	1.15	0.00	0.00

表 5 金門水頭商港八斷面四季懸浮底質採集總量表

季節	夏季	秋季	冬季	春季
and at no time	86年8月	86年10月	87年1月	87年5月
調查日期	28、29日	22、23 日	14、15 日	22、23日
Sec-1	353.24	113.37	279.74	13.14
Sec-2	117.87	130.09	283.58	7.55
Sec-3	86.48	99.16	228.11	11.75
Sec-4	139.43	105.24	233.14	14.28
Sec-5	100.76	90.19	268.05	14.01
Sec-6	104.68	82.75	269.44	15.22
Sec-7	77.07	92.09	229.41	12.46
Sec-8	114.05	91.71	220.39	7.71
合計	1093.58	804.60	2011.86	96.12

浅談丹麥與瑞典間新建海底隧道

陳正和 前省府交通處技正

不少的國家已在其境內建有跨 海大橋或海底隧道,台灣地區的澎 湖縣和高雄港早在二、三十年前也 各已建有一座跨海大橋(聯接白沙 和西嶼兩鄉)和海底隧道(正式名 稱為「過港隧道」,聯接高雄市的 前鎮區和旗津區),唯跨越洋面浩 瀚的公海或用以聯接不同國家的大 橋與隧道可就尚屬十分罕見了,目 前大概僅有連通英法兩國、穿越英 吉利海峽的這麼一條海底隧道了! 而在新加坡和馬來西亞的柔佛州之 間固然也興建有可聯接星、馬兩國 的大橋,但因非屬國際公海的柔佛 海峽甚為狹窄,以致柔佛大橋在工 程艱難度和壯觀度上還反遠遜乎一 般跨越溪河的大橋;另外,在土耳 其固然建有一條號稱跨越博斯普魯 斯海峽、連接歐亞兩洲的大橋(聯 接歐境的伊斯坦堡和亞境的烏斯庫 達),但因都是在土耳其國境域内 ,故其風采恐將被拙文所述的建設 給比了下去。北歐的丹麥和瑞典雨 國在本世紀九○年代初期,即合作 計畫在波羅底海松德海峽一帶與築 一條可聯通兩國的「烏雷松隧道」 (Oressund Tunnel)和「弗林特大 橋」(Flinterenden Bridge),是 項工程將可在近期內完工通車,得 謂是繼英吉利大橋竣事後,最受全 球營建業界矚目的一項浩大隧道與 橋樑營造工程。

本項重大的跨國合作營建工程 起自丹麥的哥本哈根(Copen hagen) 迄達瑞典的馬爾摩(Malmo)。 哥本哈根係位於松德海峽附近一個 名為 Zealand 的島上、而非位於和 歐洲大陸相連且通常是被視如丹麥 本土的「日德蘭半島」之上,馬爾 摩則位於瑞典本土斯堪地那維亞半 岛的最南端,工程施工缐大致上是 呈東西向的走勢。在哥本哈根靠海 之端的海岸邊先填造一430米長的 Kastrup 人工半島,接著為 4,050 米長的烏雷松隧道(其中有 3.510 米係位於海底),烏雷松隧道東端 銜接一座狹長形,計4,055米長的 「人工島」(本座人工島以瑞典語 名為 Saltholm , 意為鹽之城, 因 為是挖掘海水下之土方填造而成之 鹽島),自人工島最東處朝東則是 一座「三合一」,總長為7,845米 的跨海大橋(該跨海大橋因中段跨 越船舶通行的航道,故需向上架高

, 兩邊則較低,遂呈明顯倒 V 字型 的虹拱狀, 自西至東分別長3,014 米、1,092米和3,739米),橋樑最 終處,也就是整個工程最東端則是 位於馬爾摩Lernacken區的收費站 暨管理處。從上述的阿拉伯數字資 料可算出此條跨海兼跨國隧道橋樑 的全部長度為16,380公尺,即十六 公里又三百八十公尺。所有的建設 涵蓋有人工半島、碼頭港埠、海底 隧道、人工島以及跨海大橋,工程 相當的龐大,所需的技術和資金也 十分的高超可觀。既然需投注如此 龐鉅的資金來興造, 通車後自然要 對行駛於其上的火車和汽車收取通 行費用,火車是核照鐵路公司之客 貨車車班來預先收取,汽車收費則 係採兼電子收費方式(即於車上駕 駛員位置處裝設 OBU , 于偵測感 應後可自動向車主扣收通行費,是 針對車籍設於丹麥、瑞典兩國之車 輛而設的)和刷卡、現金繳費,收 費設施的主控處與橋樑隧道管理處 則俱設於靠近瑞典之端的馬爾摩郊 區,蓋當地有較廣的腹地可供容納 ,反之哥本哈根卻是寸土寸金,難 以尋覓到需用的土地。

此一跨國營建的工程(以下均以「丹瑞大道」稱之),在八〇年代時之初步構想原祗限於通行汽車,路線係來回各三線,共有六線。 路肩不計入路線內),後鑒於輸運量不足反無法充分發揮效益,且應 量不健随行火車的「英吉利海底隧 乎僅限通行火車的「英吉利海底隧 想變更為四線公路和兩線鐵路(即

雙軌鐵路),另有一條施工專用道 ,唯工程結束後施工道將改作為緊 急疏散道。自一九九五年十月正式 動工興建起,預定四年十個月内完 工,即可在今年八月左右落成通車 ,這將是本世紀内,甚至是人類歷 史上最閎大的跨海兼海底道路建設 之一。工程進行期間,共有四萬五 千名人員投入建設之行列,總經費 若依一九九○年的幣值計算,近達 四百八十億克朗(DKK,又稱丹麥克 朗,乃廣泛流通於北歐各國間的強 勢國際通貨),以西元兩千年的幣 值衡量則近約六百二十億克朗了, 折合為新台幣二千四百億(89.6.1時 的匯率係一克朗兑换3.875新台幣) ,平均每公里的造價高達一百四十 六億新台幣,約是台北市捷運路線 每公里單位造價的三至五倍, 乃全 球頂尖的築路費用。蓋本工程是在 海域和海底施工, 且波羅底海一帶 的海面風浪極為險惡洶湧,加上丹 瑞大道又是四線公路、兩線鐵路的 大道,因而造價自然極為令人咋舌 。試想每公里的建造費用就可在台 北或高雄蓋一幢四百坪寬、廿層樓 高的公寓大樓,是何等的大手筆! 也有人質疑,從哥本哈根所在的海 島至瑞典馬爾摩的車流並非如梭行 於其它著名大橋之上者那般的稠密 , 建造這麼高昂的道路實在不划算 ,而且兩國的人口數亦不多(丹麥 和瑞典各約六百萬和一千萬人,雨 國的人口總數還明顯的少於台灣呢),實用價值並非極高。但丹麥、 瑞典兩國則從經濟、交通、國民方

便性、提昇勞動參與率(即調降國 民失業率)、帶動觀光旅遊風潮和 提高營建技術…等多方面的效益來 考量;再者,藉由本工程的施工得 以填造出屬丹麥哥本哈根市所擁有 的人工半島新生地(計劃關築為哥 本哈根的附屬港)和屬丹瑞兩國共 有共管的人工島,這對領土原本甚 小的丹麥而言實為一大利多,爰促 成此一計畫的實現。

Kastrup人工半島僅約一平方 公里大,國際機場即在其南邊,穿 過哥本哈根市區的鐵路和原濱海而 建的公路在此匯合(鐵路有一支線 通往港口以供載運貨物),且在半 島上劃設有一鐵路列車的維修區, 是逕售予鐵路公司作為專用地。從 烏雷松隧道入口往東且往下進入海 面下,長4,050公尺的海底隧道有 將近三千公尺的路段是在海面之下 十二公尺的深度處,而海面至海底 間的水深係廿餘公尺,經過整平海 床底部後使得隧道頂緣至海床留有 超逾八米相當足夠的深度,以確保 由沈箱構築而成的海底隧道能夠極 其堅固和寬敞。 Saltholm 人工島 約莫五平方公里,乃由挖整烏雷松隧 道時,累計達一百八十萬立方公尺的 土方填成的狹長島嶼,繼「丹瑞大 道」建竣後,管理機構將次第進行 一連串的土質改良與綠化工程;而 挖鑿工程是由 Chicago 和 Castor 兩家公司得標承包,在工期中兩公 司每天共可挖出五千至八千立方公 尺的泥量,能力頗為可觀。隧道是 以埋放廿節沈箱,每節176米長的 技法構築而成,和吾國高雄港過港 隧道的營建方式大致相同,故上所 述及的挖泥旨在使沈箱安放處的海 床得以平整,其實大都是以吸泥法 來吸取海泥後再予整平的。沈箱的 橫斷面係 38.8M*8.6M ,俟沈箱埋 放妥當後再予接合管路並覆蓋,俾 求堅牢穩固。

丹麥人和希臘人總愛告訴外國 人說,他們這兩個分立於南、北歐 的國家是歐洲近代文明的發源地, 當您曉得它們的歷史之後,對這種 洋洋得意的説法應該會有所釋懷或 認同哩!丹麥的領土面積雖僅比台 灣稍大(不含格陵蘭,僅主要的日 德蘭半島和周圍近五百個離島), 人口卻僅約台灣的四分之一,在十 一世紀初丹麥曾越海統治隔著北海 相望的英格蘭(莎士比亞的哈姆雷 特劇作即是以丹麥王室作為取材的 背景),後續世紀則又擴疆統治今 之挪威、瑞典,建立起勢力龐大的 「卡瑪聯合王國」,還曾兼領冰島 ; 十六世紀之前, 丹麥是北歐地區 勢力最強大的國家,國勢足可與西 歐的法國和東歐日漸崛起的俄羅斯 相抗衡。直至十九、廿世紀,瑞典 等國先後獨立,丹麥才縮減為今之 形勢,反而成為一國域甚小的蕞蘭 小國。

唯丹麥在近數十年來一直採行 溫和改革和與鄰國敦睦友好的國策 ,致能遠避戰爭,戮力建設,維持 經濟蓬勃穩定、内政長治久安的局 面,像諾貝爾獎中的和平獎審理委 員會即是設於丹麥。近十餘年來丹

資料來源:丹麥哥本哈根港電腦網路,網址為 www.cphport.dk